### Столкновения релятивистских тяжелых ядер

Илья Селюженков

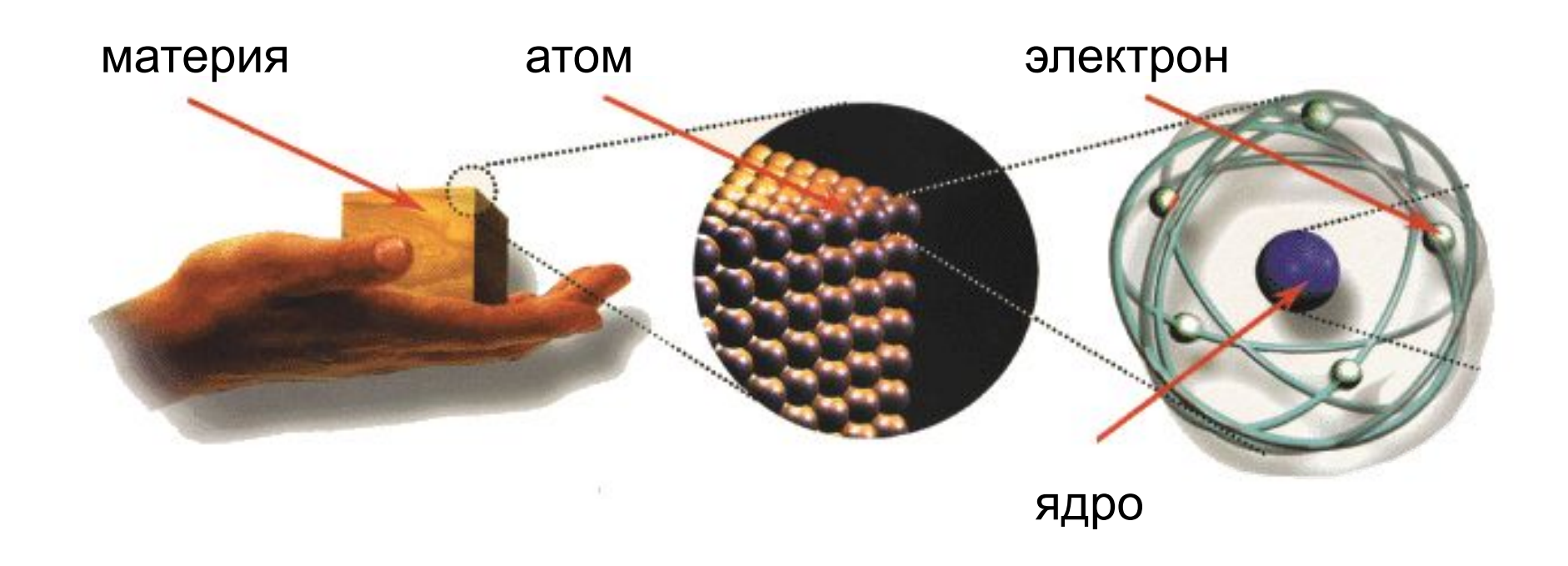
МИФИ / GSI



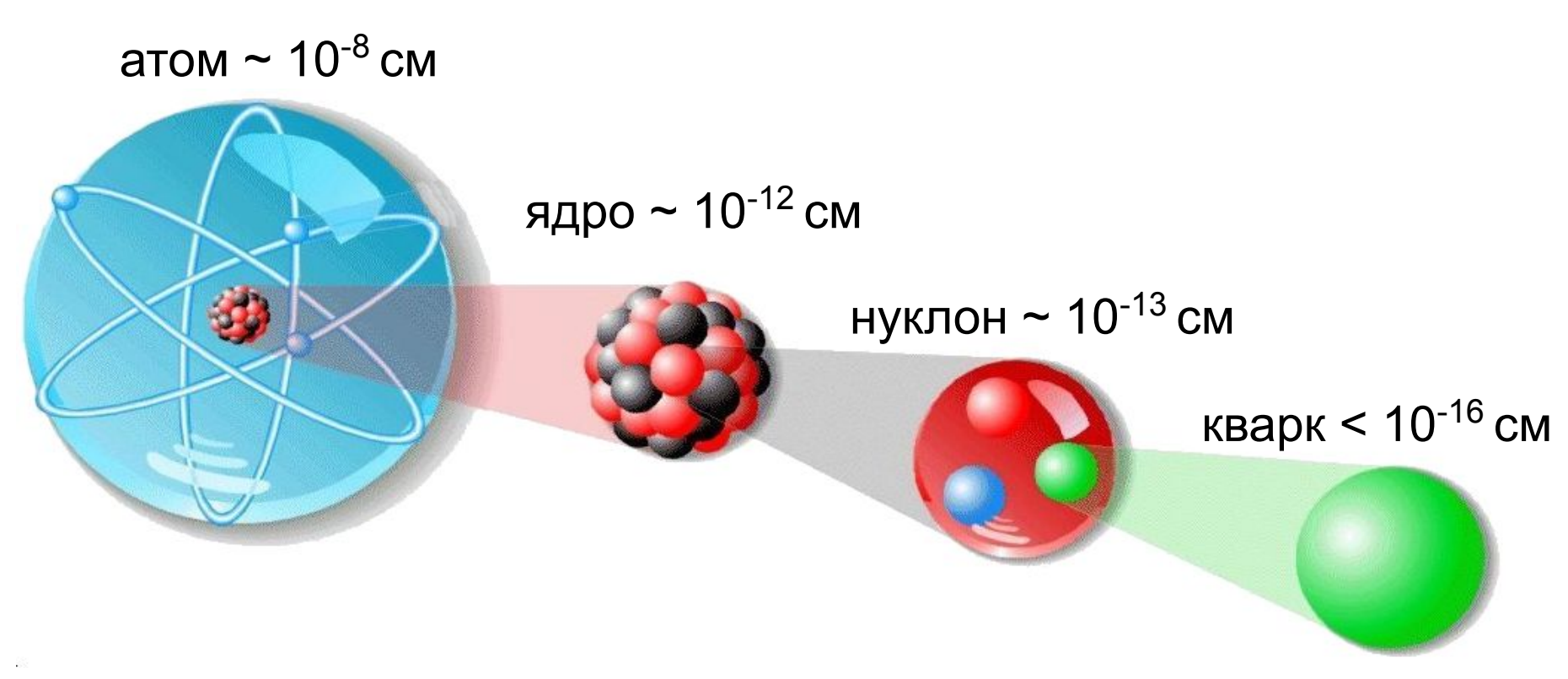
Конференция в честь 50-летия ИЯИ РАН 04 декабря 2020

## Введение

### Структура материи: макро- и микро-мир

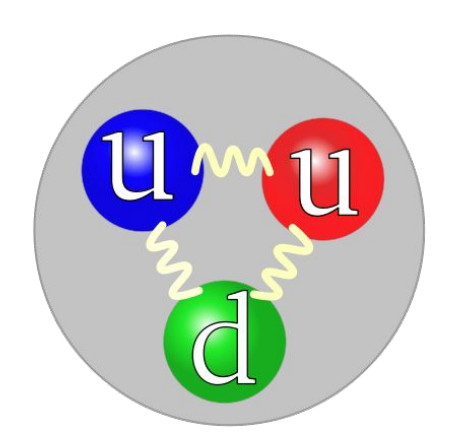


## Структура материи на нано- и фемто-расстояниях

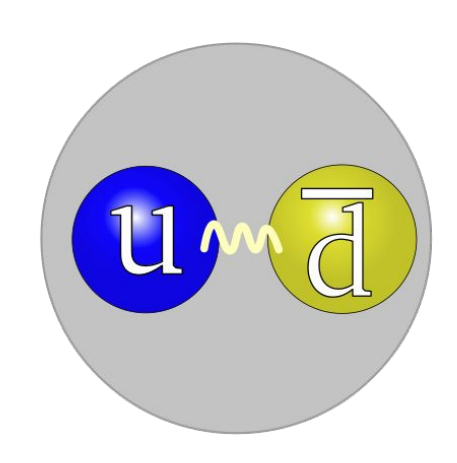


## Квантовая хромодинамика (КХД): теория сильного взаимодействия

протон (барион)



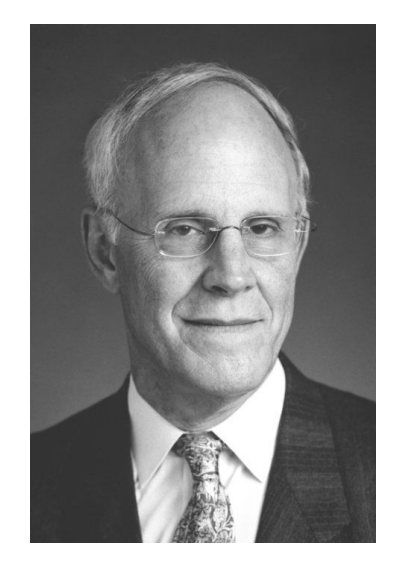
пион (мезон)



Нормальное состояние материи: цветные кварки и глюоны связаны в бесцветные состояния (адроны) → конфайнмент (confinement)

## Асимпточическая свобода в КХД

#### Нобелевская премия 2004 года



David J. Gross



H. David Politzer



Frank Wilczek

константа связи сильного взаимодействия уменьшается с увеличением энергии: сильное взаимодействие становиться слабым при экстремально больших энергиях (температурах)

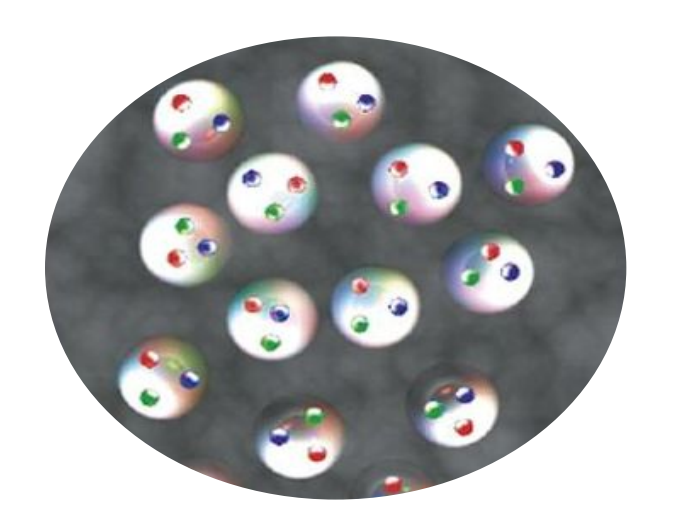
→ деконфайнмент (deconfinement)

## Кварк-глюонная плазма (КГП)

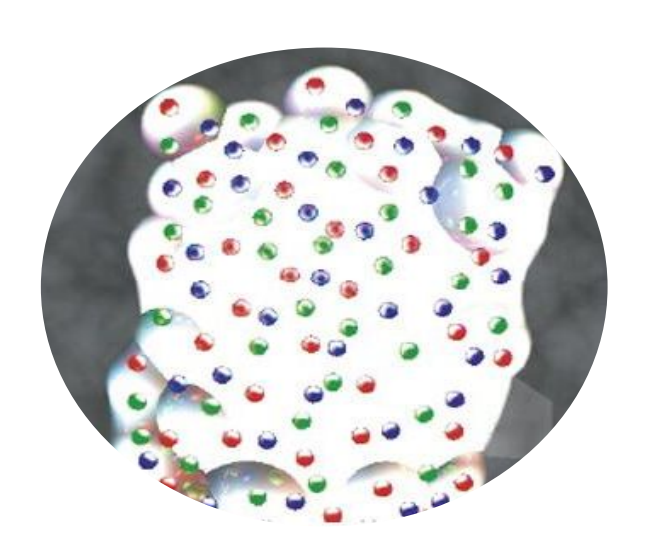
#### Идея:

нагревая материю до экстремальных температур (T ~ 10<sup>12</sup>K) можно получить состояние из свободных кварков и глюонов

адронный газ

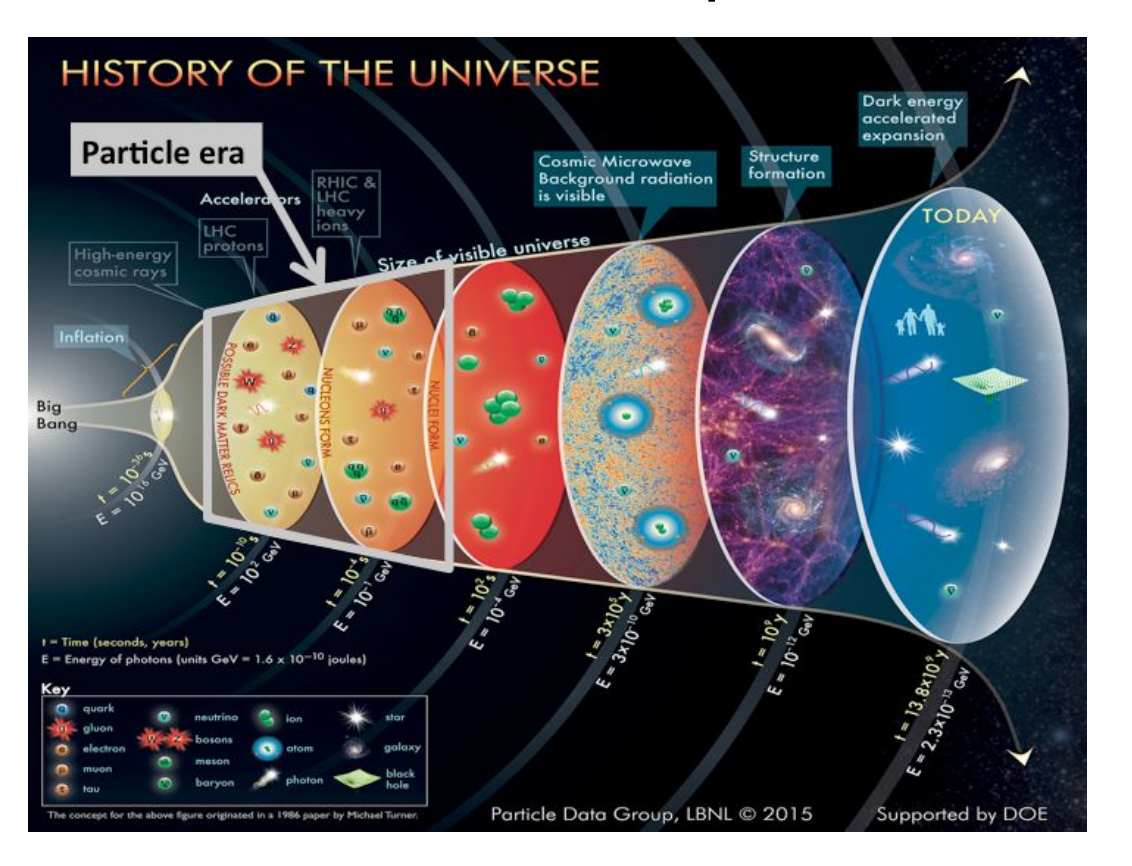


#### кварк-глюонная материя



# Фундаментальные вопросы физики столкновений релятивистских тяжелых ядер

## Эволюция Вселенной в теории Большого Взрыва



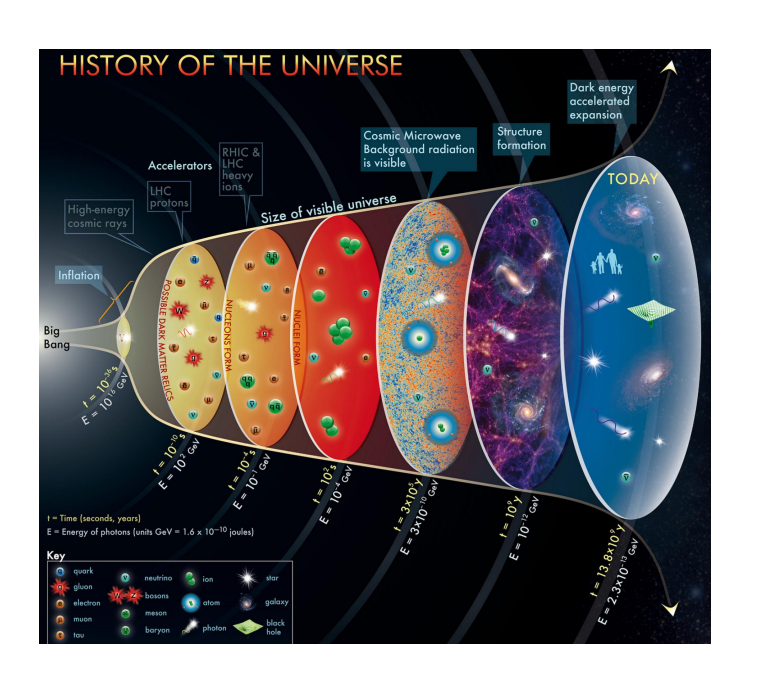
13.8 миллиардов лет расширения Вселенной

## Эволюция Вселенной в теории Большого Взрыва



Через несколько микросекунд после Большого Взрыва (Big-Bang) горячая Вселенная была в состоянии деконфайнмента (КГП)

## Фундаментальные вопросы физики столкновений релятивистских тяжелых ядер

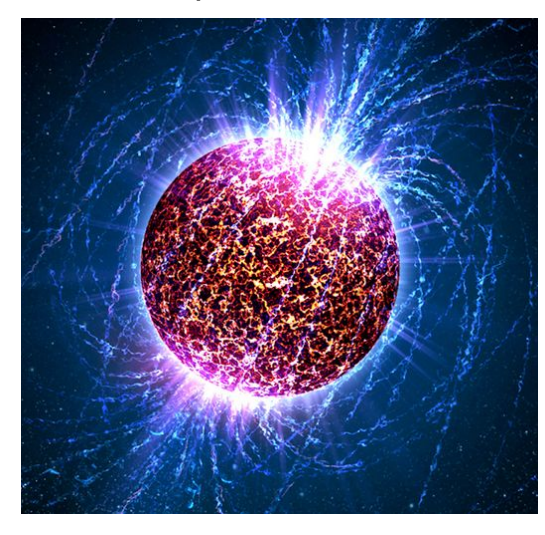


Как устроена сильно-взаимодействующая материя при экстремальных температурах и экстремальных барионных плотностях:

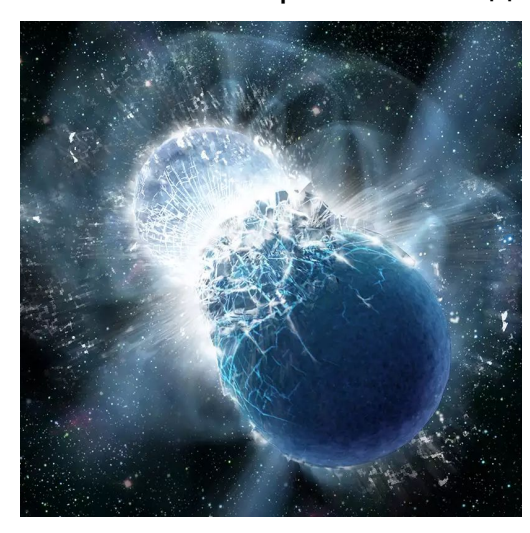
Построение фазовой диаграмма кварк-глюонной материи и определение ее свойств (вязкость, сжимаемость, и т.д.)

## Плотная барионная материя

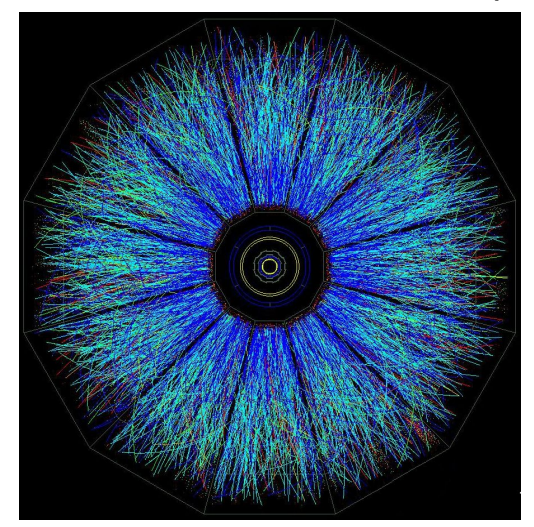
Нейтронные звезды



Слияние нейтронных звезд



Столкновения тяжелых ядер



Температура

 $\rho$  < 10  $\rho_0$ Плотность

Время жизни / время реакции T < 10 MeV

~ infinity

T ~ 10-100 MeV

 $\rho < 2 - 6 \rho_0$ 

 $T \sim 10 \text{ ms}$ 

 $T < 120 \text{ MeV } (2x10^{12}\text{K})$ 

 $\rho < 5 - 15 \rho_0$ 

 $t \sim 10^{-23} s$ 

## Фундаментальные вопросы физики столкновений релятивистских тяжелых ядер

Слияние нейтронных звезд





Свойства сильно-взаимодействующей материи в зависимости от барионного числа, киральности и спиновой структуры

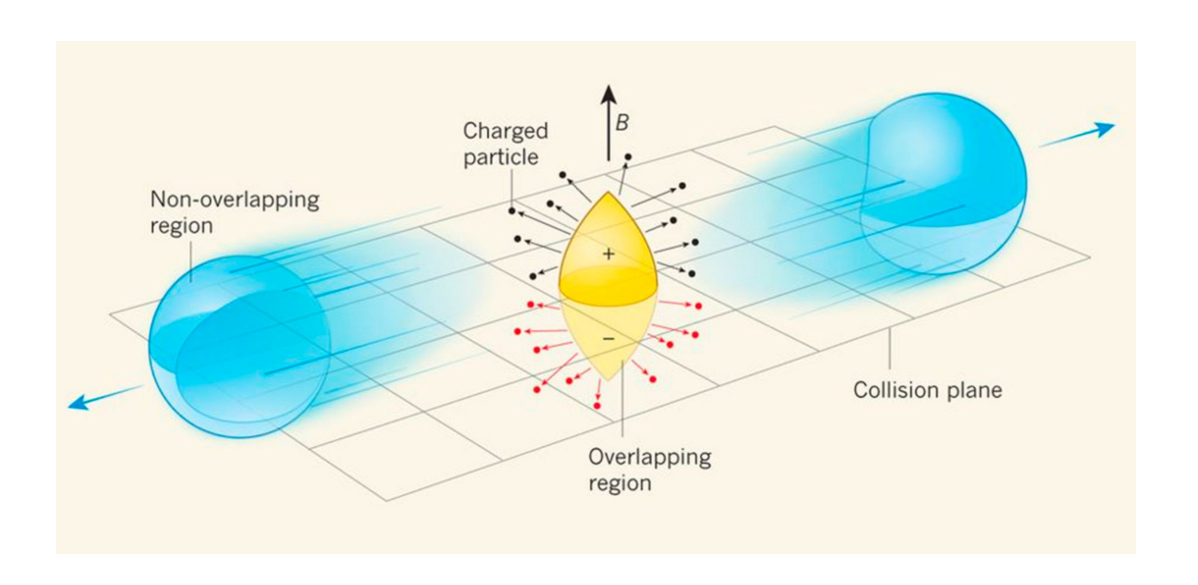
Большая относительная барионная плотность:

$$\rho \sim 2 - 6 \rho_0$$

Восстановление киральной симметрии, завихренность кварк-глюонной жидкости со спином

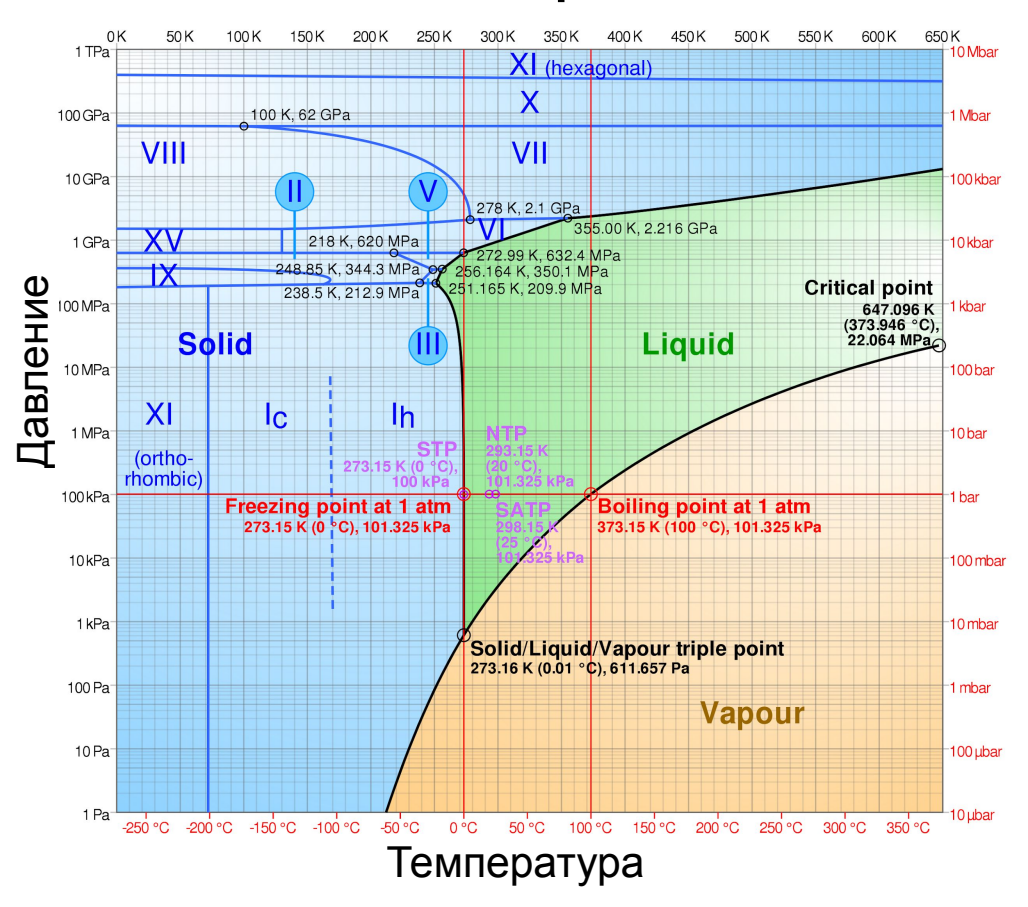
## Фундаментальные вопросы физики столкновений релятивистских тяжелых ядер

Происхождение асимметрии материи и антиматерии во вселенной вопросы сохранения четности (Р) и СР (зарядовой сопряженности) в КХД

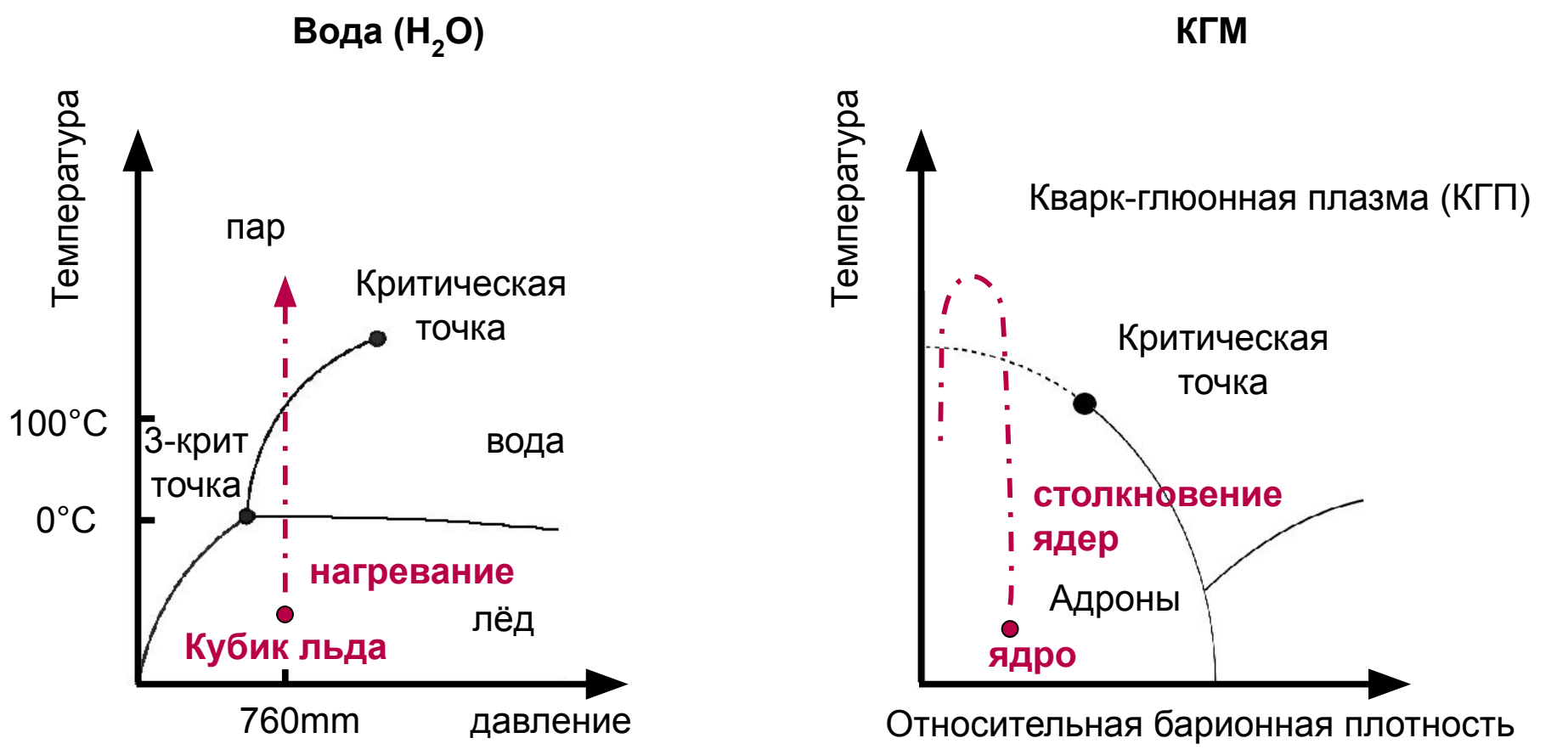


## Фазовая диаграмма кварк-глюонной материи (КГМ)

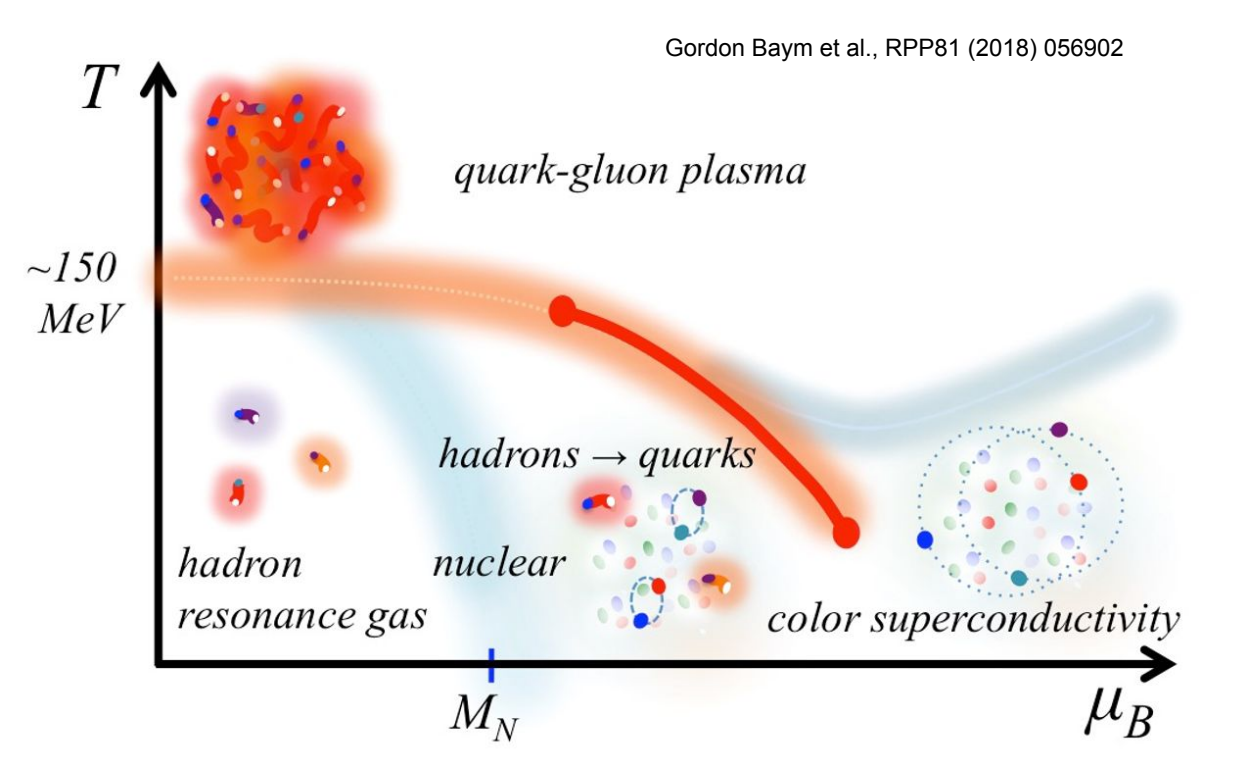
### Фазовая диаграмма воды



### Сканирование фазовой диаграммы воды и КГМ



## Фазовая диаграмма кварк-глюонной материи (КГМ)



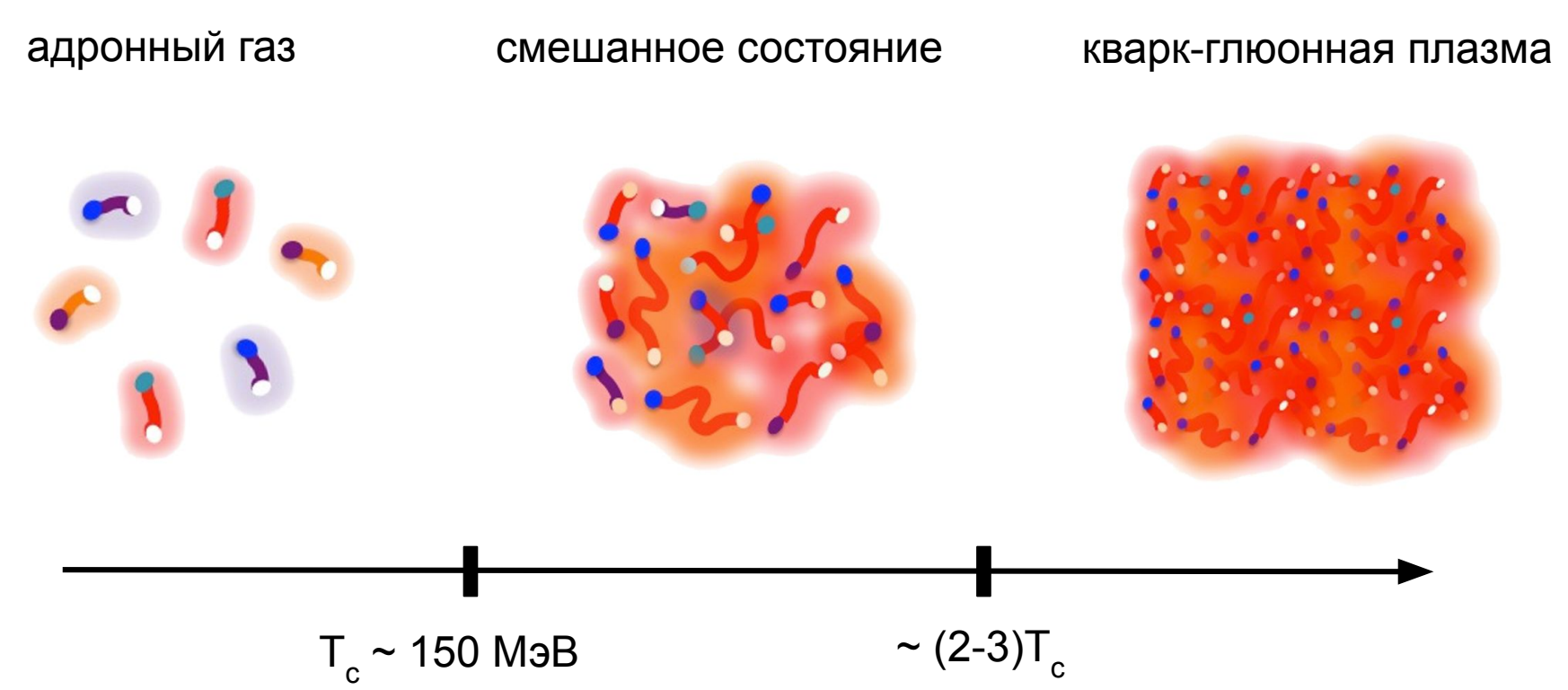
Ранняя вселенная:

 $\rightarrow \mu_{\text{B}} \sim 0$ 

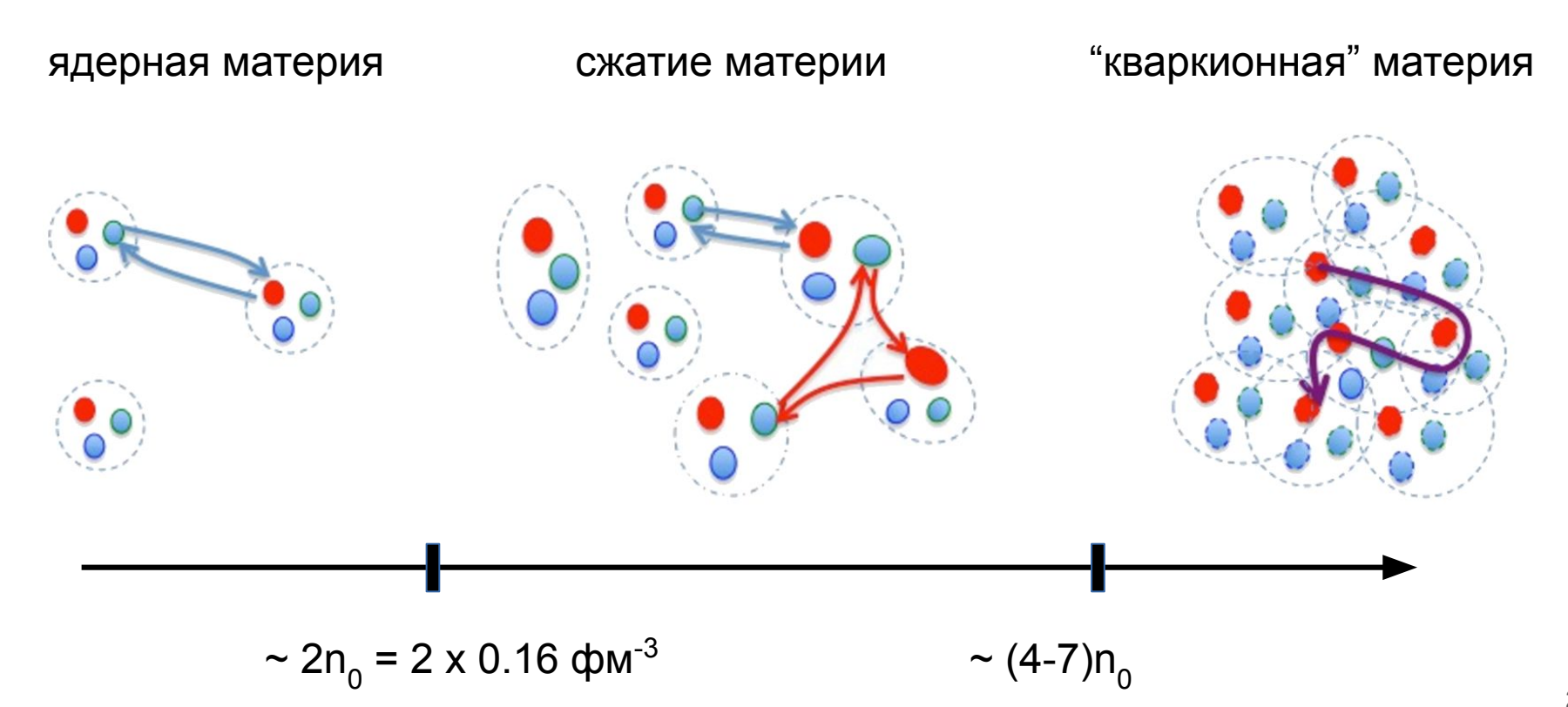
экстремальные температуры

Температура (T) – барионный химический потенциал (µ<sub>B</sub>)

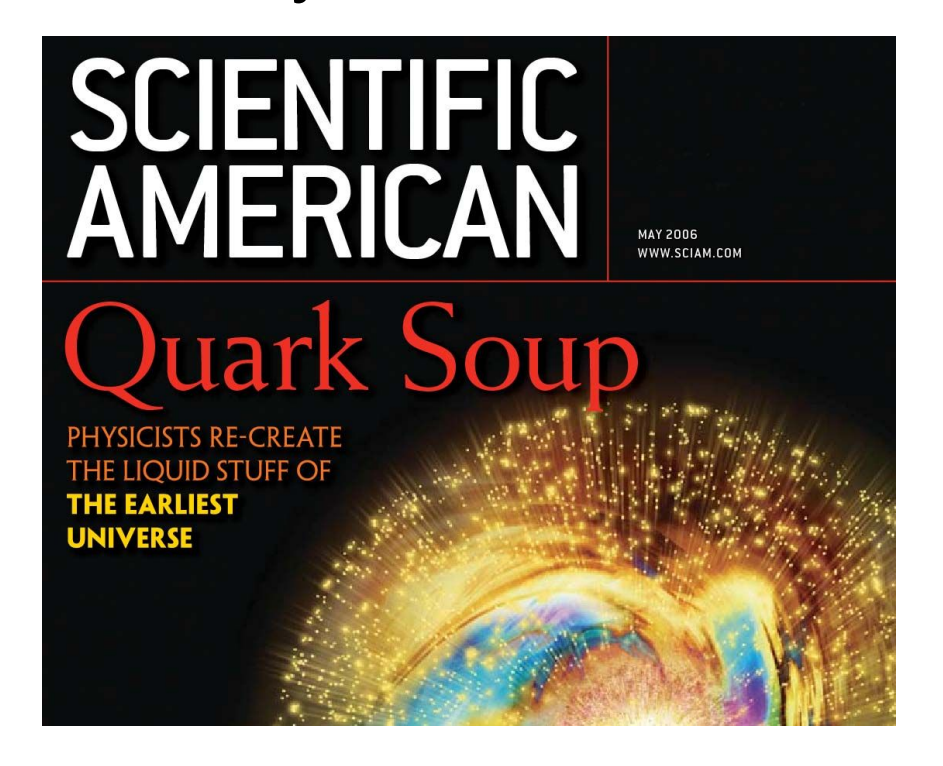
# Фазовый переход типа "кроссовер" при высоких Т и малых $\,\mu_b$



# Фазовый переход при большом барионном химическом потенциале $\mu_b$

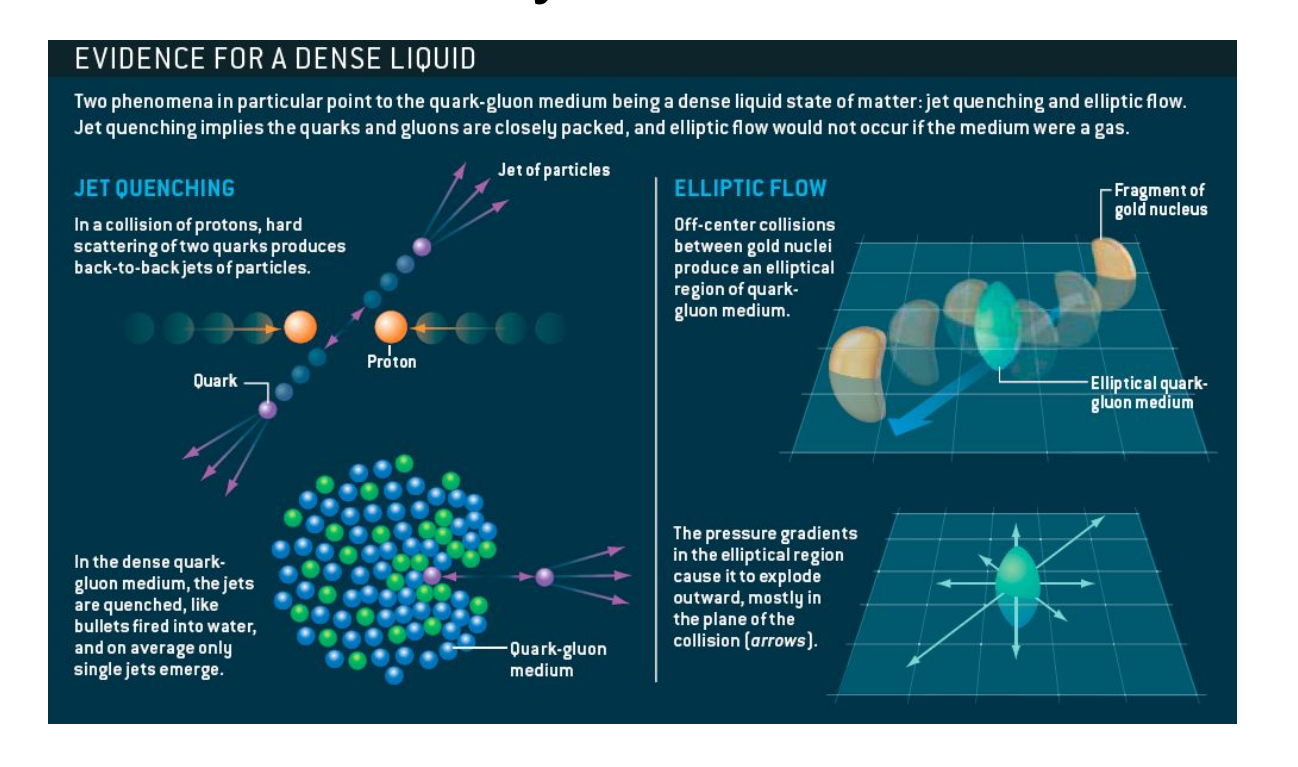


## Указание на SPS@CERN и открытие на RHIC@BNL сильновзаимодействующей идеальной жидкости



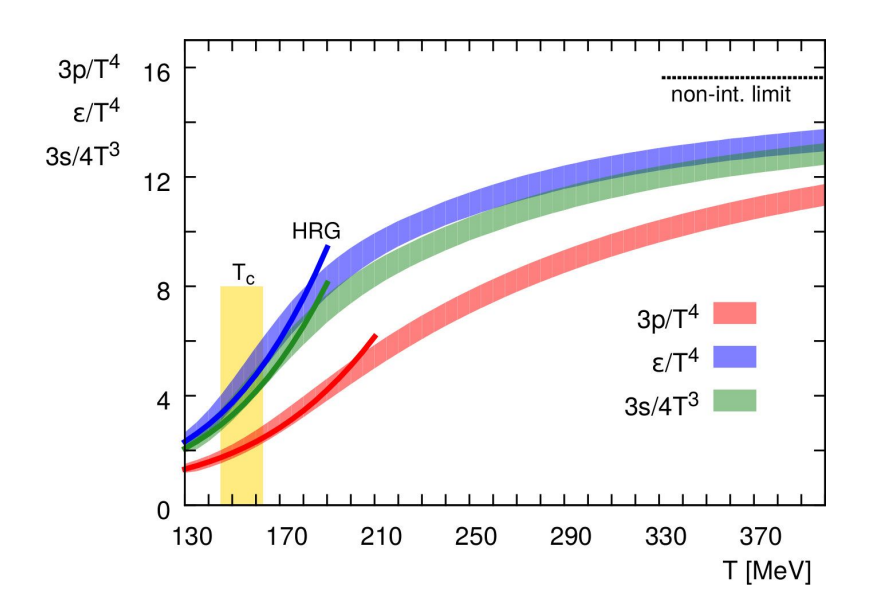
M. Roirdan & W. Zajc, Scientific American (2006)

## Указание на SPS@CERN и открытие на RHIC@BNL сильновзаимодействующей идеальной жидкости



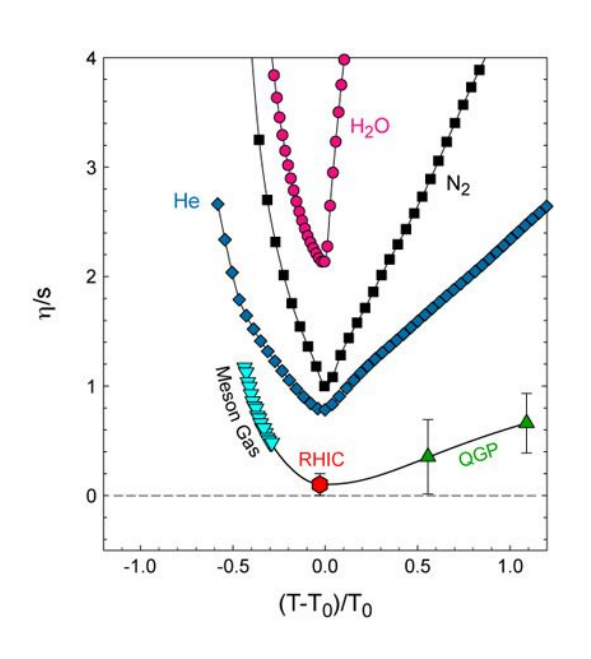
## Описание свойств КГМ при µ<sub>в</sub>=0 в терминах релятивистской вязкой жидкости

Термодинамическое уравнение состояния р(Т)



Фазовый переход типа "Кроссовер": Т<sub>с</sub> ≈ 156 МэВ степени свободы: кварки и глюоны

Сдвиговая вязкость η(Т)



почти идеальная жидкость  $\eta/s \approx 0$ 

## Экспериментальные установки

### Действующие и будущие мегасайенс установки



### Действующие эксперименты в России, Европе и США

#### NA61/SHINE

SPS Heavy Ion and Neutrino Experiment

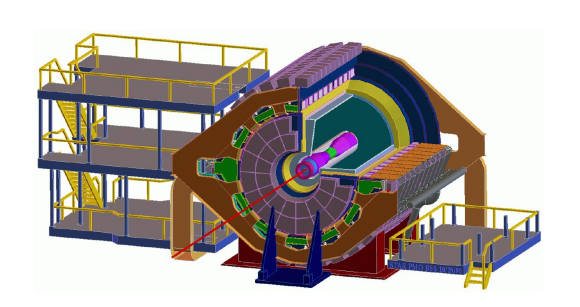


## HADES High Acceptance DiElectron Spectrometer



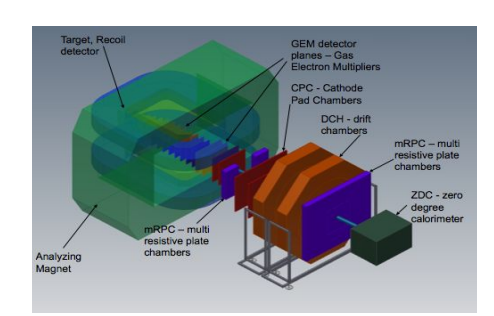
#### STAR

Solenoidal Tracker At RHIC



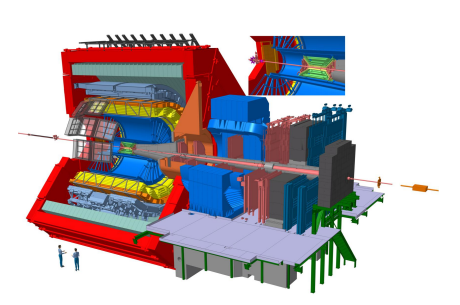
## **BM@N**Baryonic Matter

at Nuclotron



#### ALICE

A Large Ion Collider Experiment



@LHC: ATLAS, CMS, LHCb

#### Основные возможности для измерений

Регистрация и идентификация продуктов столкновения ядер: заряженные и нейтральные адроны, фотоны, дилептоны, струи, спектаторы

Близкий к 4π аксептанс: полный азимут, широкий диапазон по быстроте и поперечному импульсу р<sub>т</sub>: ~0 МэВ/с до ~100 ГэВ/с

### Вклад ИЯИ в действующие эксперименты



#### **HADES**



#### **TOFino**

Идентификация заряженных адронов передний времяпролетный сцинтилляционный годоскоп Временное разрешение ~ 400 псек (использовался в 2002-2008г.)

#### **FW**

Определение центральности столкновения и плоскости реакции передний сцинтилляционный годоскоп

#### **ECAL**

измерение нейтральных пионов, фотонов и электронов электромагнитный калориметр из свинцового стекла

#### NA61/SHINE & BM@N



#### **PSD**

Определение центральности столкновения и ориентации плоскости реакции

Передний калориметр для детектирования осколков налетающего ядра

Особенности дизайна:

Поперечный: модульная конструкция Продольная: сегментированная структура из слоев свинца и сцинтиллятора. Сбор света с помощью спектросмещающего оптоволокна (WLS) Считывание сигнала кремниевыми фотоэлектронными умножителями (SiPM)

#### **ALICE**



#### T<sub>0</sub>

Триггер столкновений, мониторинг светимости, время столкновения (для идентификации частиц), определение центральности столкновения и плоскости реакции

Пара черенковских счетчиков размещенных на противоположных сторонах точки взаимодействия ядер

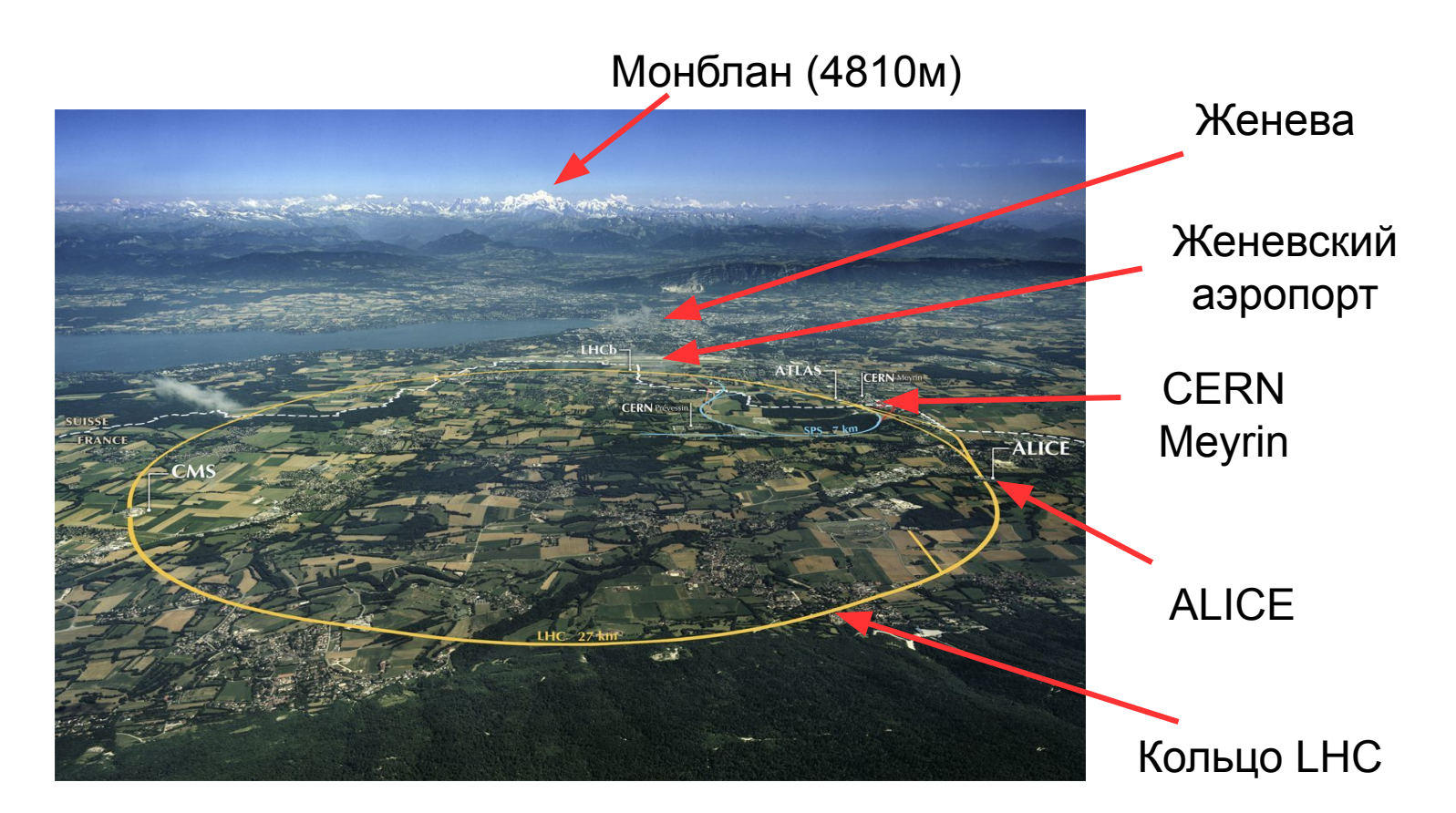
Кварцевые радиаторы, подключены к ФЭУ

Временное разрешение ~ 25 (40) псек для Pb-Pb (протонов)

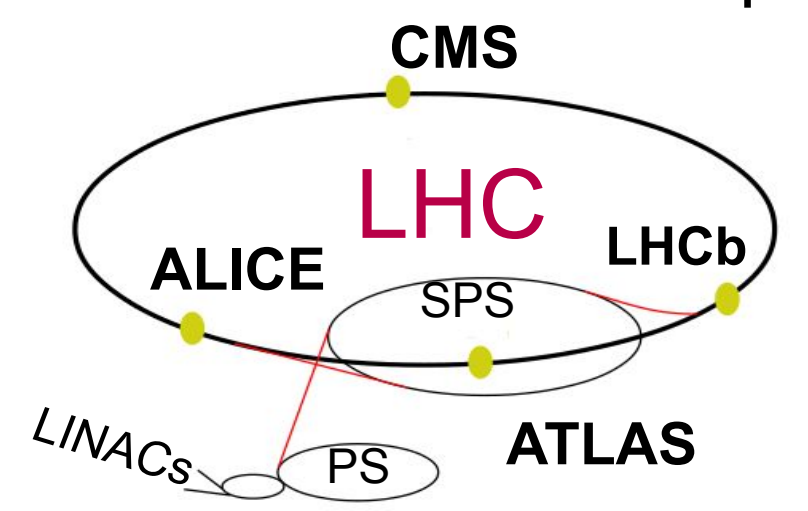
### Установка ALICE на LHC

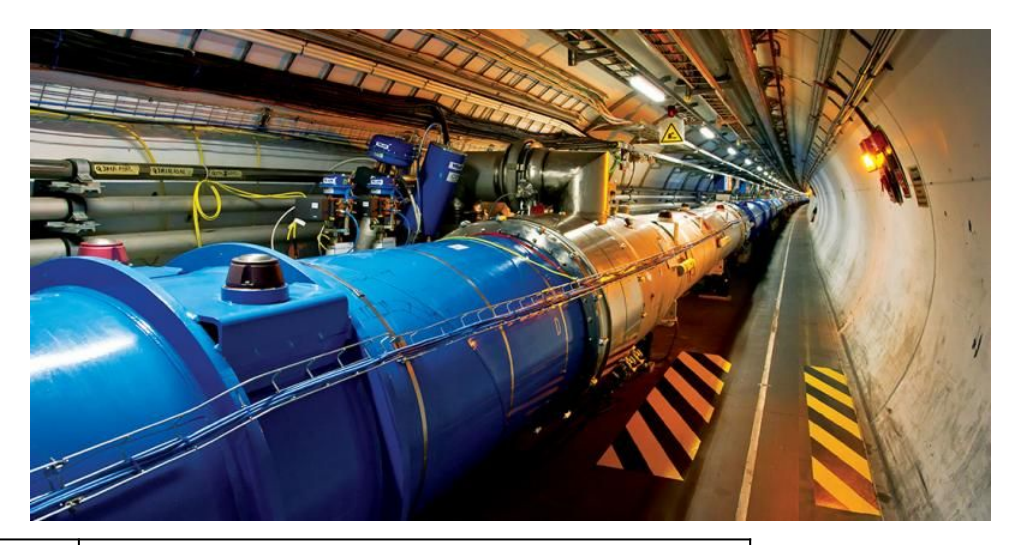
определение свойств кварк-глюонной плазмы

## Большой Адронный Коллайдер (LHC)



## Параметры LHC





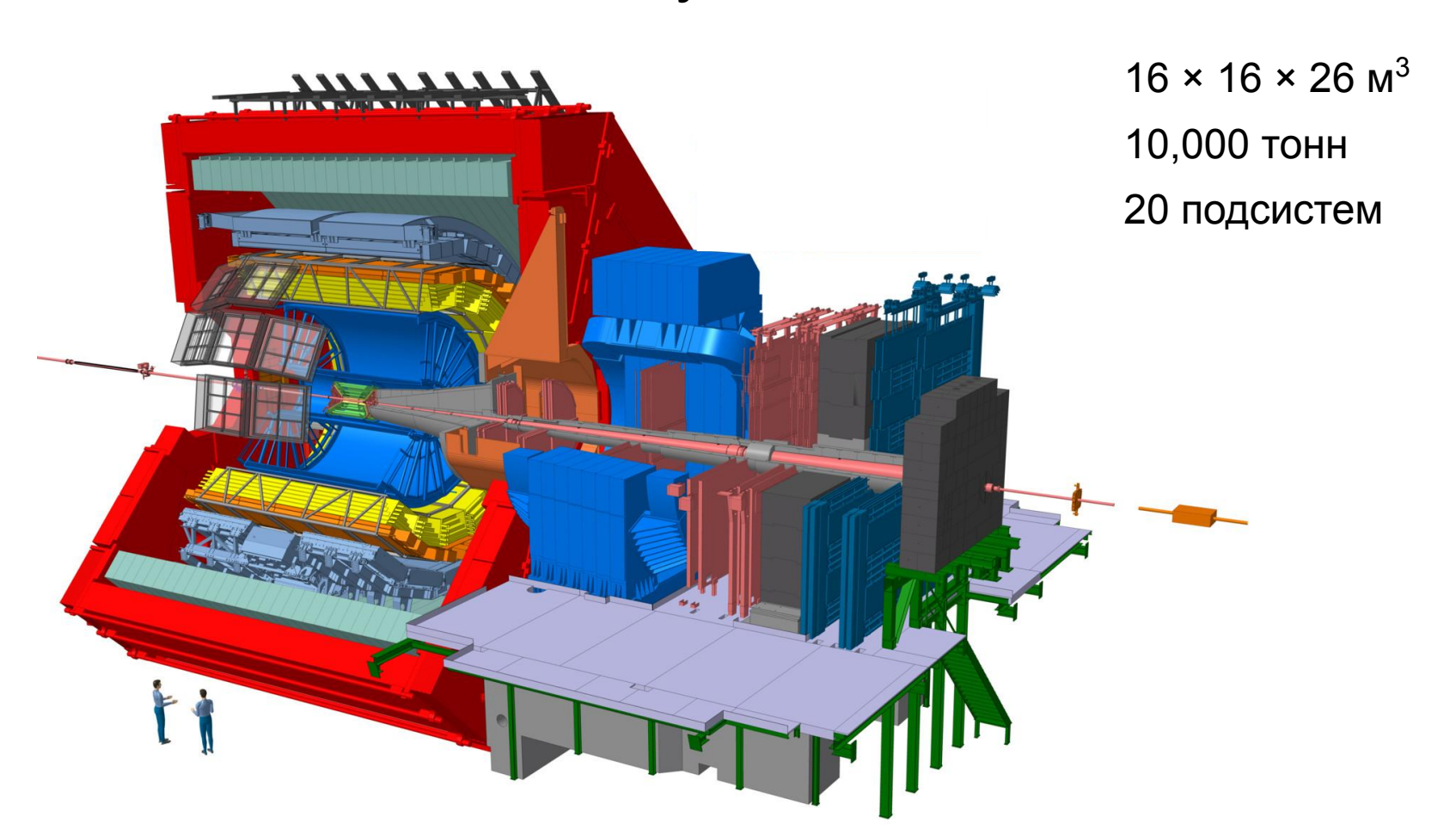
Расположение	CERN (Европа)
Длина окружности	27 км
Пучки частиц	p, Xe, Pb
Энергия пучка на нуклон в системе центра масс, (Тераэлектронвольты)	pp: 0.9, 2.76, 5, 7, 13 pPb: 5.02, 8.16 Xe-Xe: 5.44 Pb-Pb: 2.76, 5.02

## АЛИСА: Большой Йонный Эксперимент на LHC

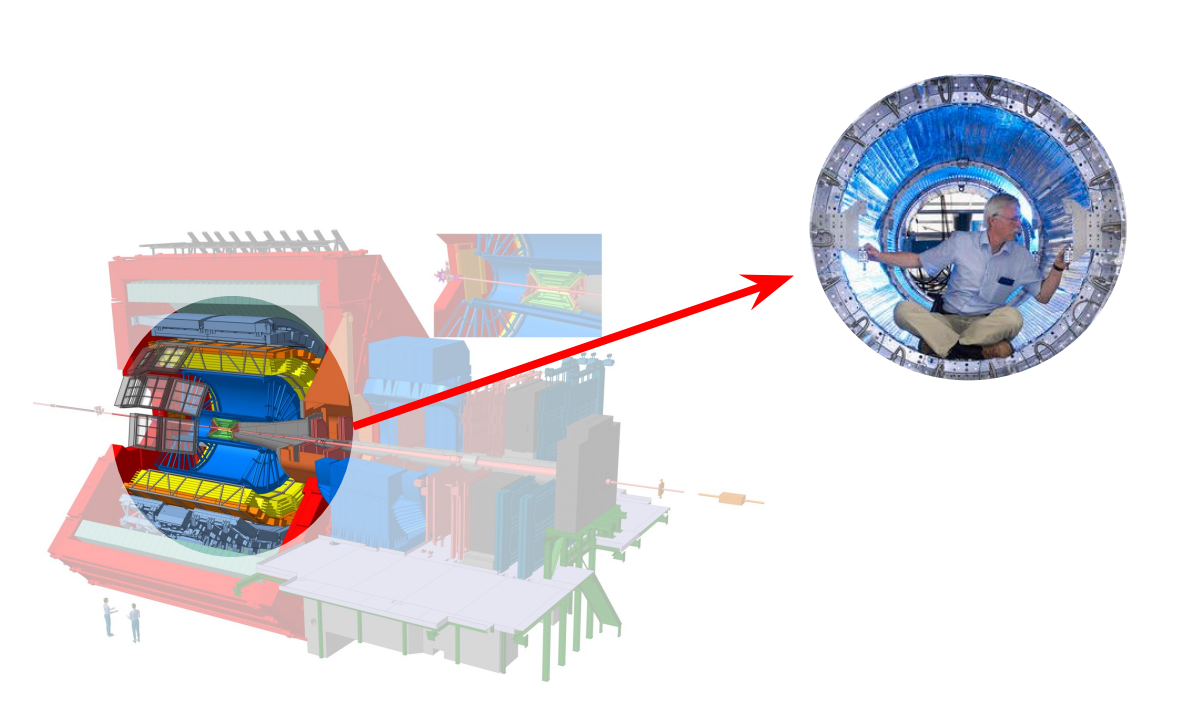
https://en.wikipedia.org/wiki/ALICE: A Large Ion Collider Experiment



## Подсистемы установки АЛИСА



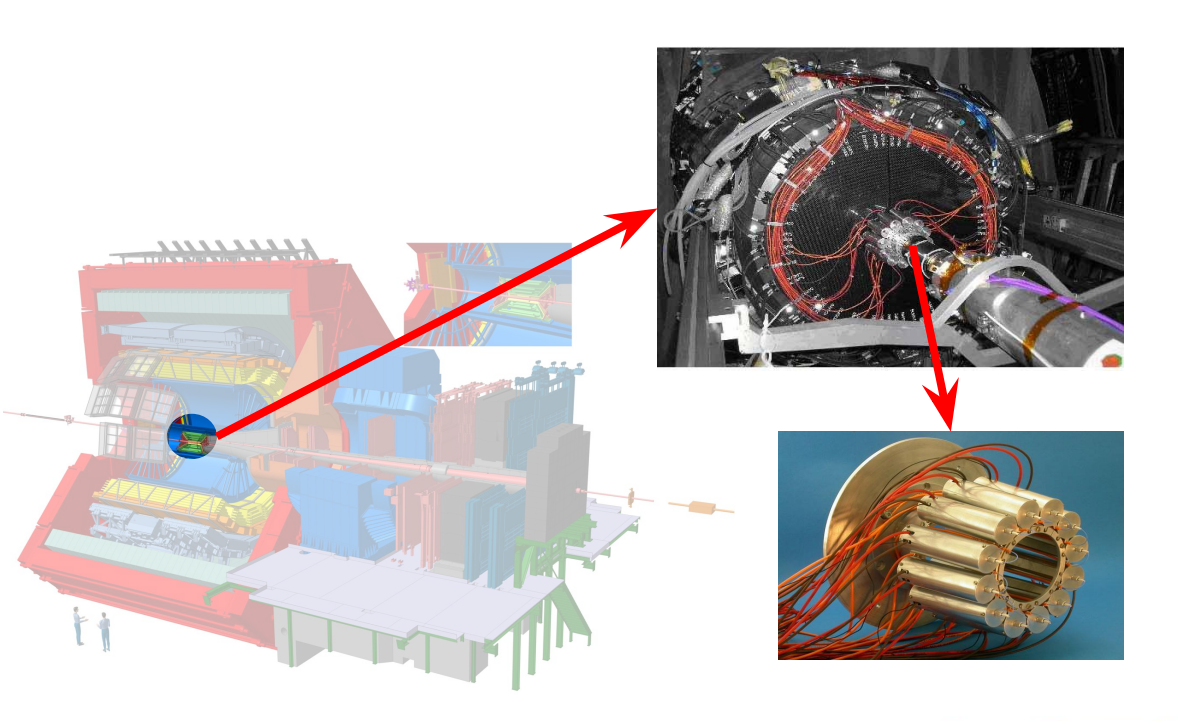
## Время-проекционная камера (ТРС)



## Время-проекционная камера (ТРС)



### Вклад ИЯИ в установку ALICE



#### **Детектор Т0**

Триггер столкновений, мониторинг светимости, время столкновения (для идентификации частиц), определение центральности столкновения и плоскости реакции

Пара черенковских счетчиков размещенных на противоположных сторонах точки взаимодействия ядер

Кварцевые радиаторы, подключены к ФЭУ

Временное разрешение ~ 25 (40) псек для Pb-Pb (протонов)









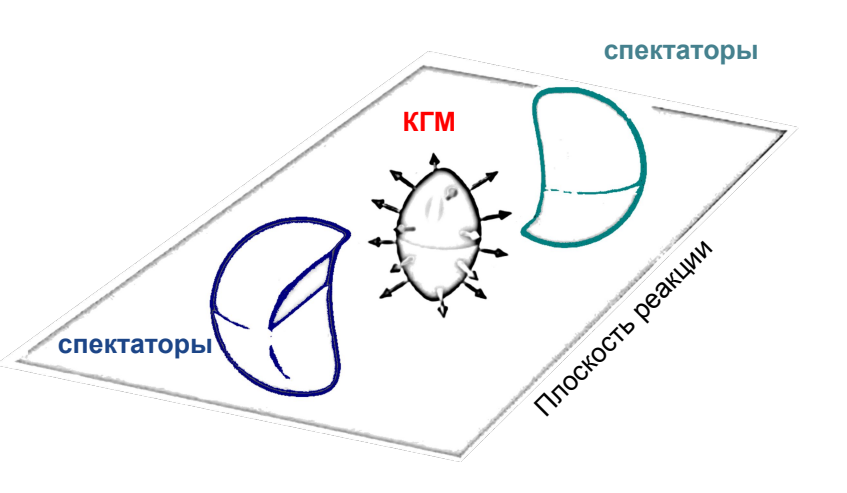


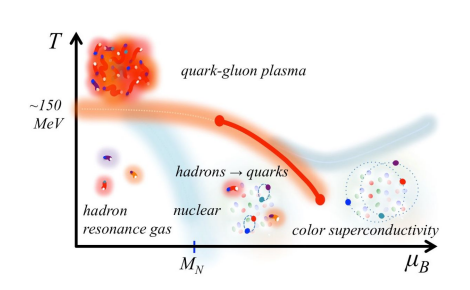




## Условия образования КГМ на LHC

## Столкновения при ультра-релятивистских (ТэВ) энергиях





Множественное рождение мягких частиц

→ симметрия материи и антиматерии

→ µ<sub>в</sub> ~ 0 (условия ранней Вселенной)

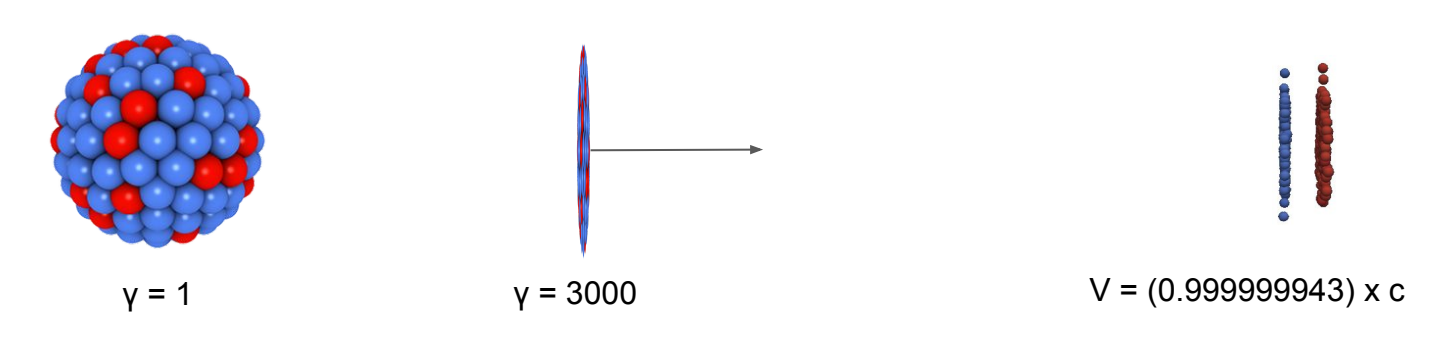
Многократное пере-рассеяние и коллективное расширение

→ макроскопическое описание КГМ как релятивистской жидкости

Температуры  $T > 150 \text{ MэB } (\sim 10^{12} \text{K})$ 

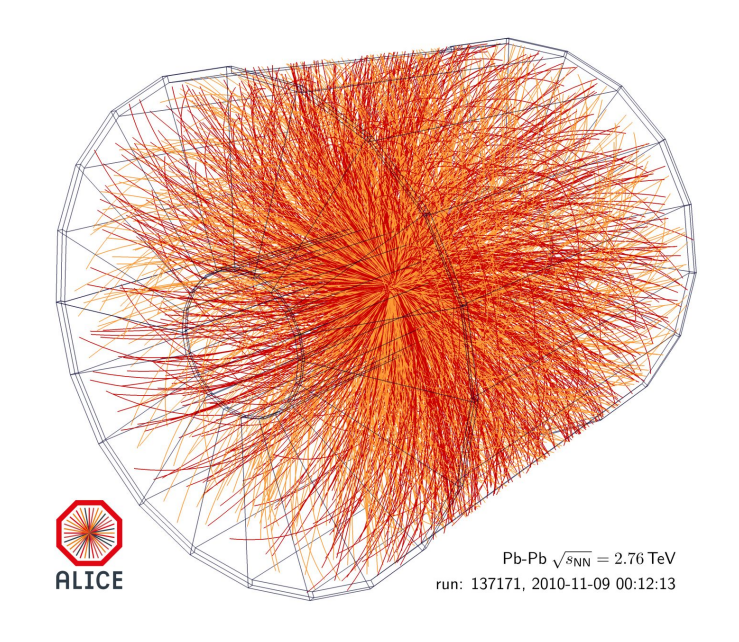
→ создание кварк-глюонной плазмы

# Условия образования КГМ на LHC



характеристика			RHIC	LHC
Энергия столкновения на нуклон	√s <sub>NN</sub>	ТэВ	0.2	2.76 / 5.04
Лоренц фактор	γ	_	100	3000
Скорость ядер	V	в ед. с	0.999957412	0.999999943
Эффект. температура	T <sub>eff</sub>	МэВ	221 ± 19 <sup>stat</sup> ± 19 <sup>syst</sup>	297 ± 12 <sup>stat</sup> ± 41 <sup>syst</sup>
Время распада	T <sub>f</sub>	фм/с	6.77 ± 0.68	10.42 ± 0.53
Плотность энергии	3	ГэВ/фм <sup>3</sup>	9.1	21 ± 2
Объем при распаде	V	фм <sup>3</sup>	2177 ± 378	4792 ± 582
Материя к антиматерии	bar-p/p	_	0.8	0.991 ± 0.015

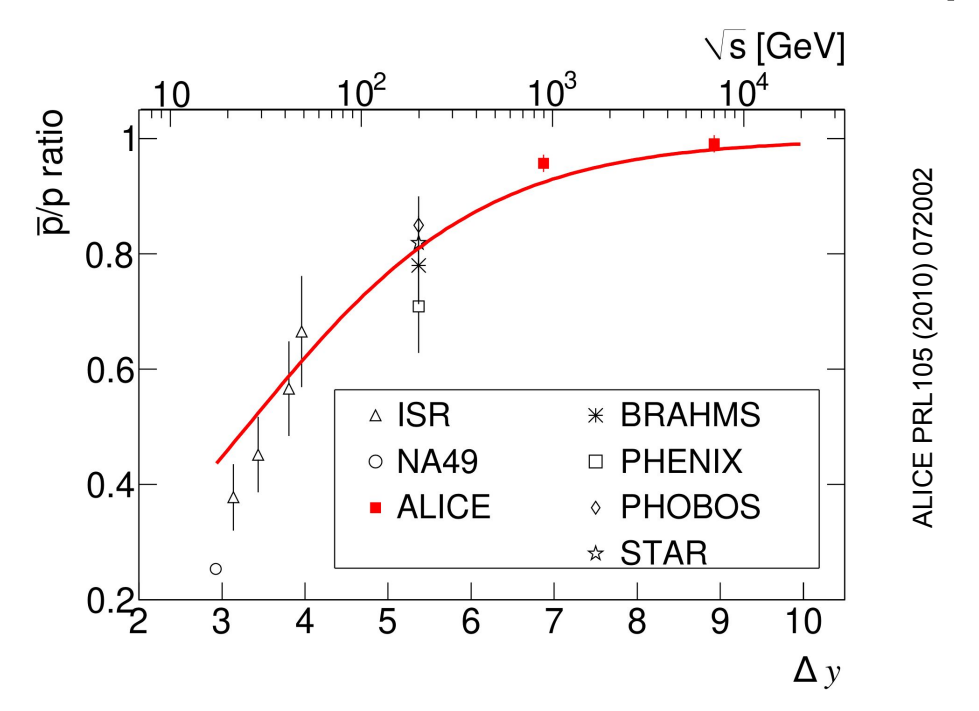
# Столкновение двух ядер свинца: рождаются десятки тысяч новых частиц

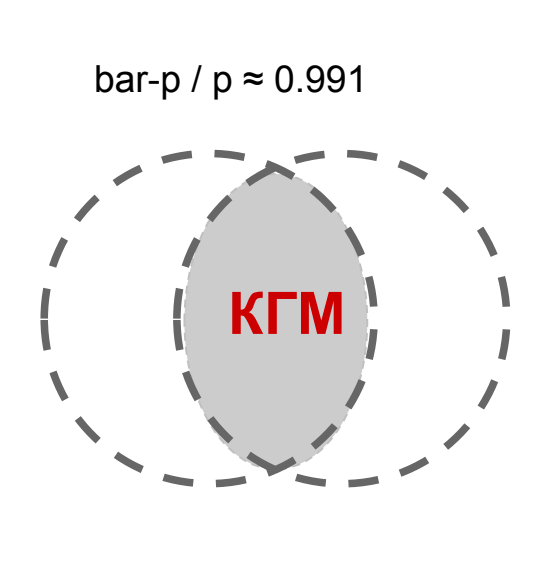


$$\frac{\mathrm{dN}}{\mathrm{d}\,\eta}\bigg|_{\eta=0} = 1600$$

Столкновения повторяются сотни миллионов раз при разных энергиях и для разных типов ядер

# Условия образования КГМ: отношение материи к антиматерии



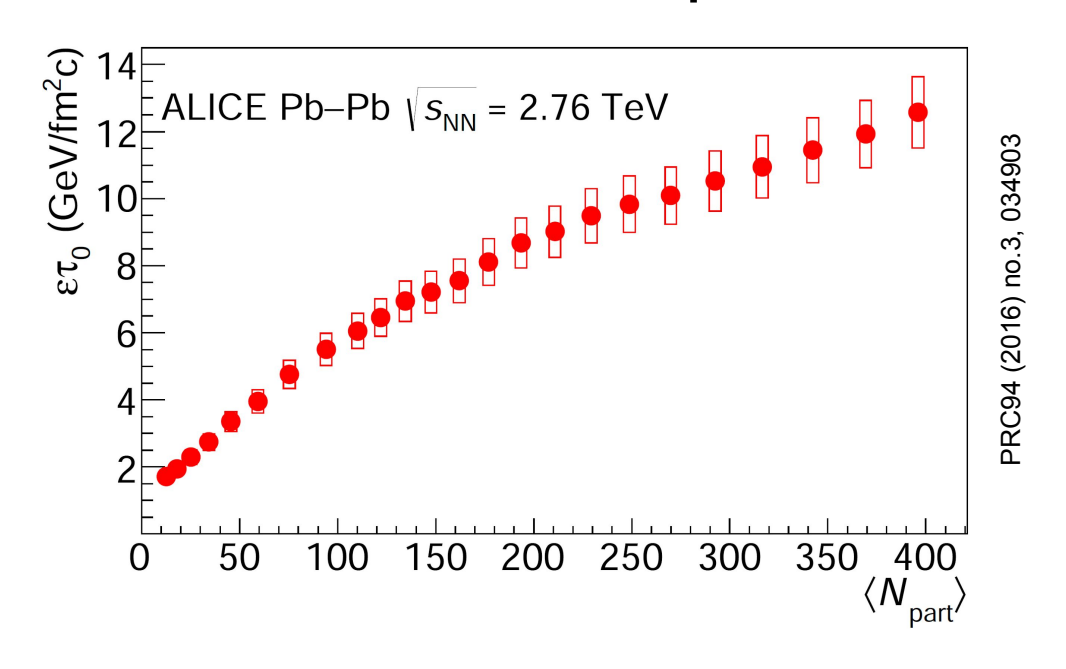


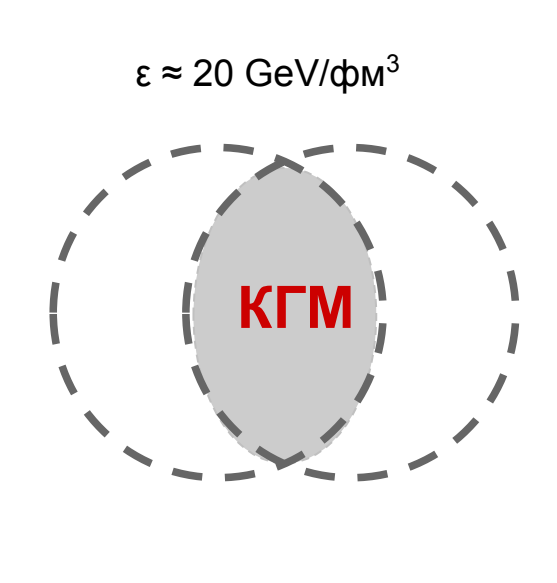
Почти полная симметрия рождения материи и антиматерии → условия, близкие к ранней Вселенной (t ~ 10<sup>-4</sup> c)

# Необходимые условия для формирования КГП

- Плотность энергии примерно в 10 раз больше, чем в ядре
   > 1 ГэВ/фм<sup>3</sup>
- Температура в 10<sup>5</sup> горячее чем на солнце
  - ~ 200 M<sub>3</sub>B (2 x 10<sup>12</sup> K)
- Достаточно большой размер для установления деконфайнмента
  - ~ больше чем несколько ферми (10<sup>-15</sup>)
- Достаточно времени для установления равновесия
  - > 1фм/с (10<sup>-24</sup> сек)

# Условия образования КГМ: плотность энергии в области перекрытия

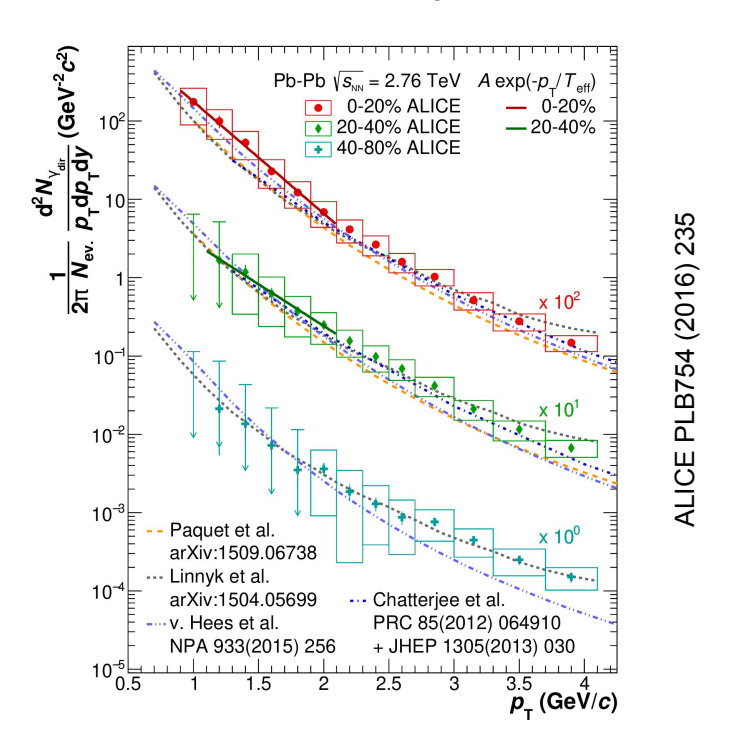


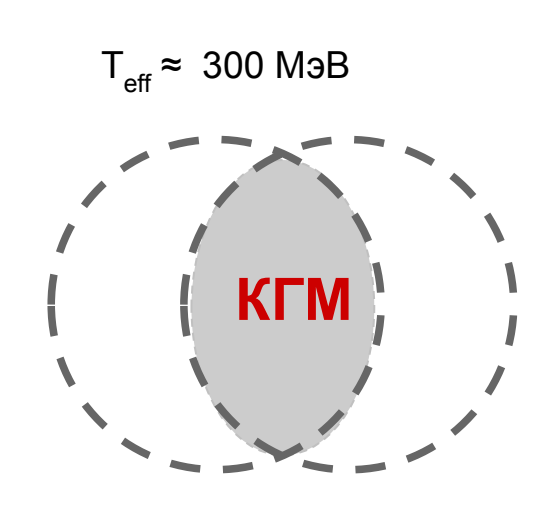


Намного выше, чем плотность "холодной" КХД материи

- → множественное рождение кварков и глюонов
- → необходимое условие применимости макроскопического описания КГМ

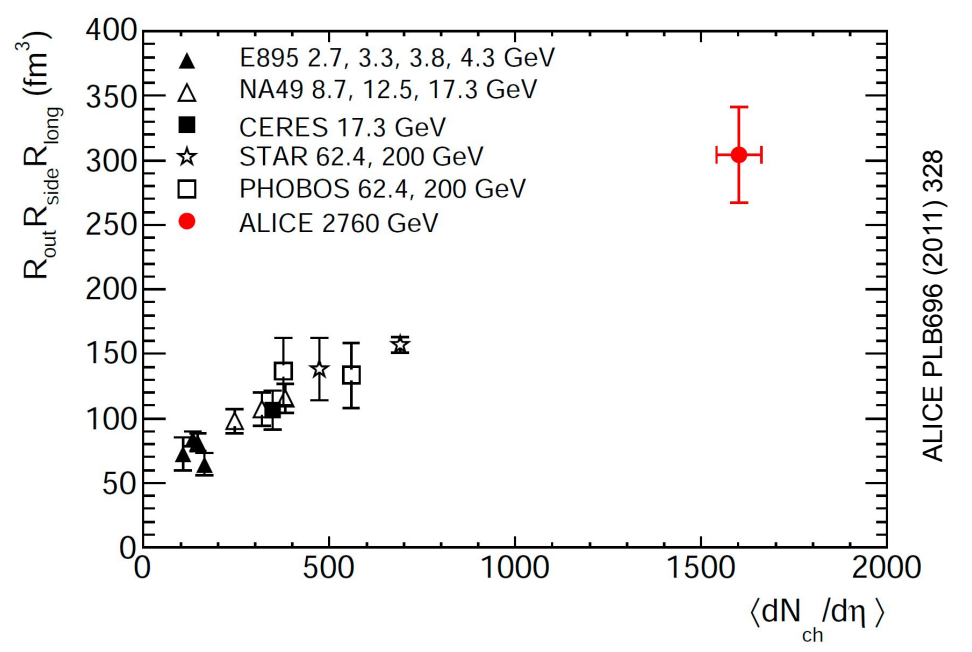
# Условия образования КГМ: излучение прямых фотонов

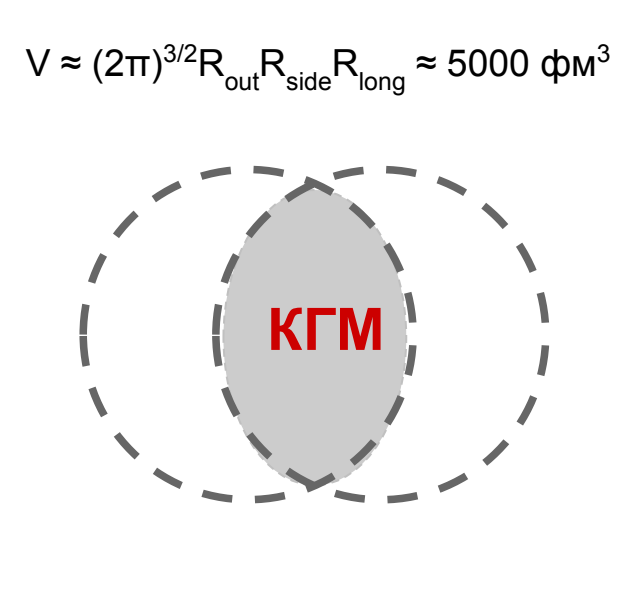




Достигаемая температуры намного выше чем для фазового перехода КХД:  $T_{\rm c} \sim 156~{\rm MpB}$ 

# Условия образования КГМ: размер области образования

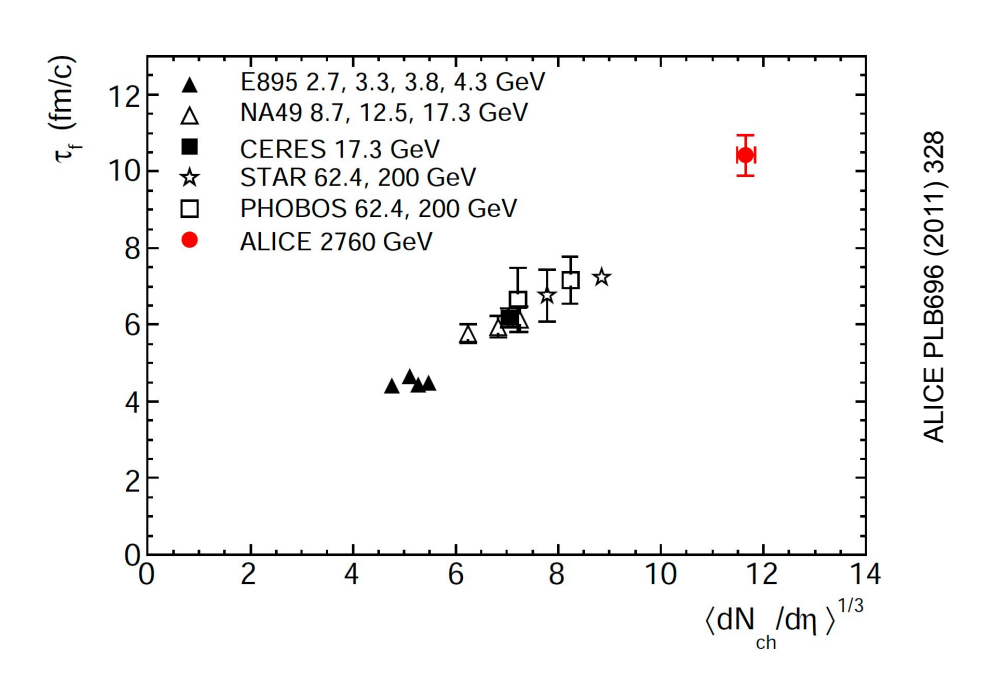


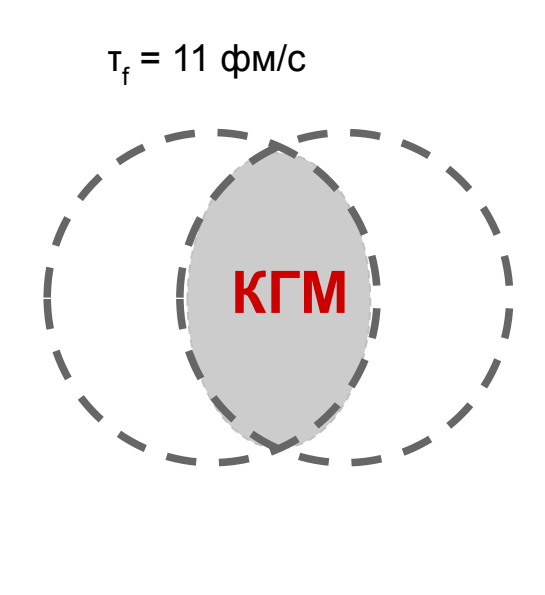


Размер системы гораздо больше радиуса протона (0.85 фм)

 → необходимое условие для деконфайнмента (свободные кварки и глюоны в конечном объеме)

# Условия образования КГМ: время жизни системы



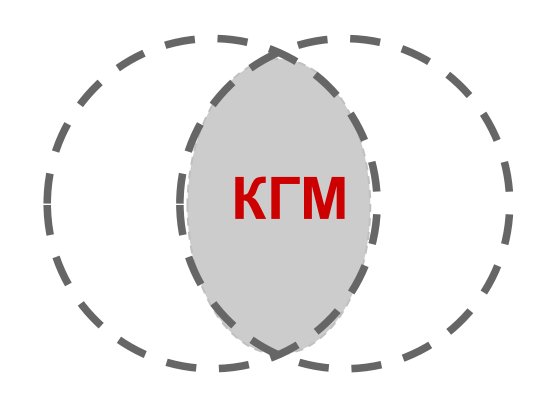


Намного дольше времени термализации (0.1 фм/с). Необходимое условие для достижения термодинамического равновесия

## Условия образования КГМ на LHC

$$T_f = 11 \text{ } \text{фм/}c$$

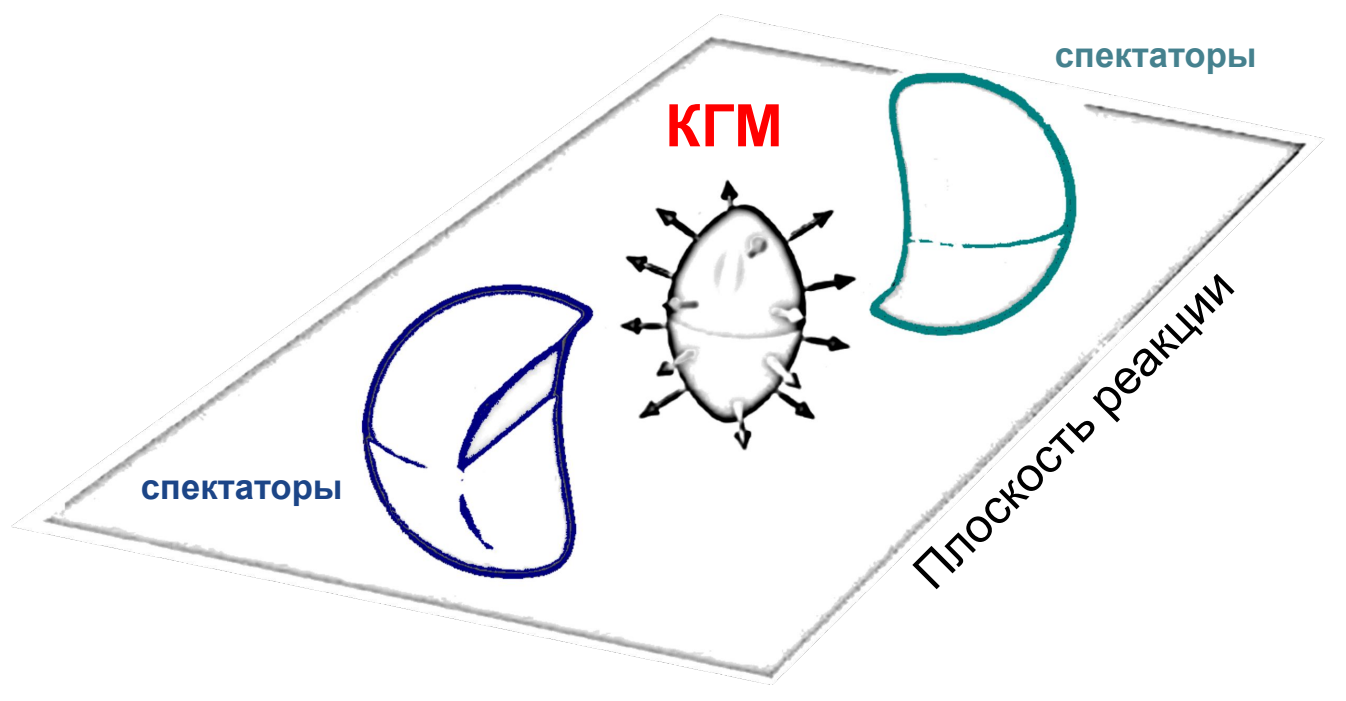
bar-p / p 
$$\approx 0.991$$



Предпочтительные условия для образования горячей, плотной и долгоживущей КГМ в условиях, близких к ранней Вселенной

# Определение свойств КГП & Анизотропные коллективные потоки

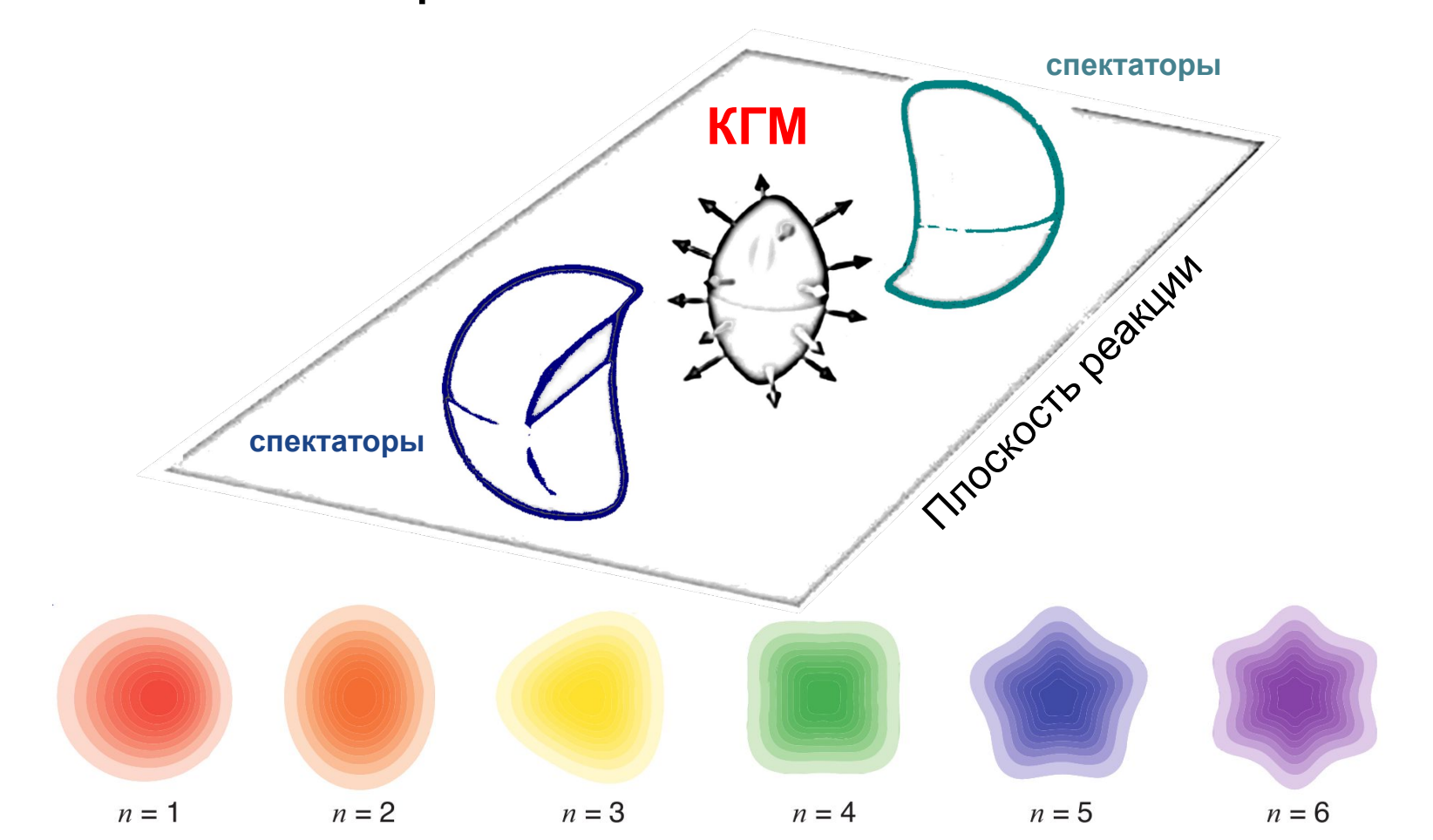
## Анизотропные коллективные потоки



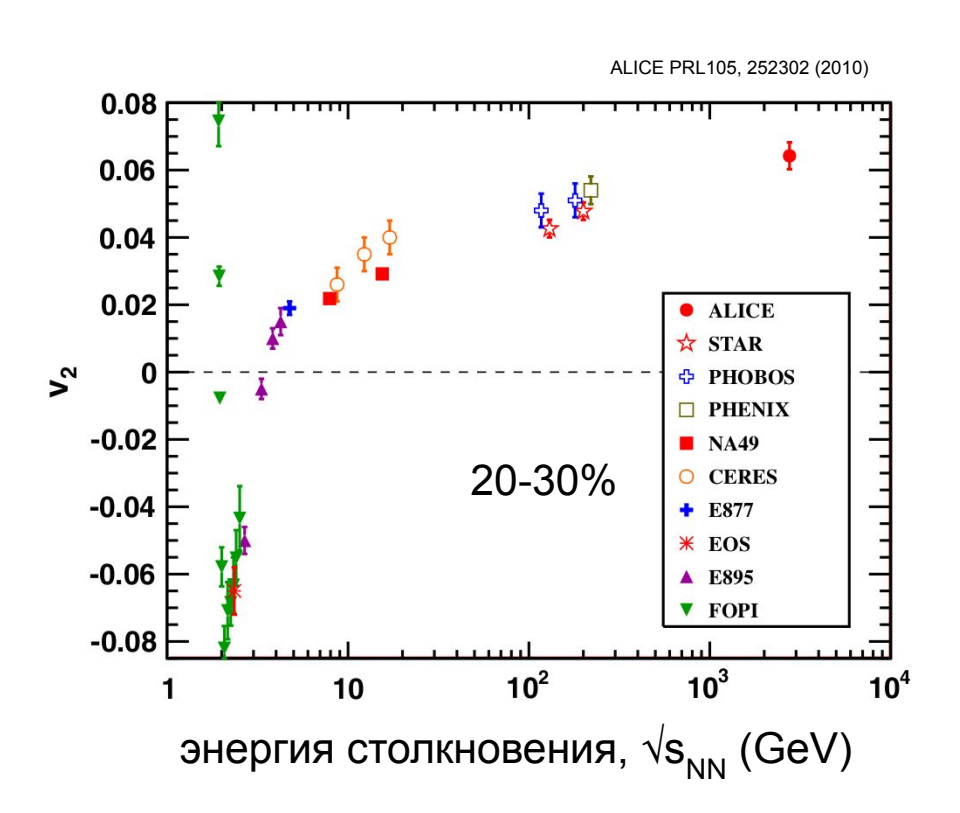
Плоскость реакции: направление движения ядер и прицельного параметра

Область перекрытия имеет форму эллипса

# Анизотропные коллективные потоки



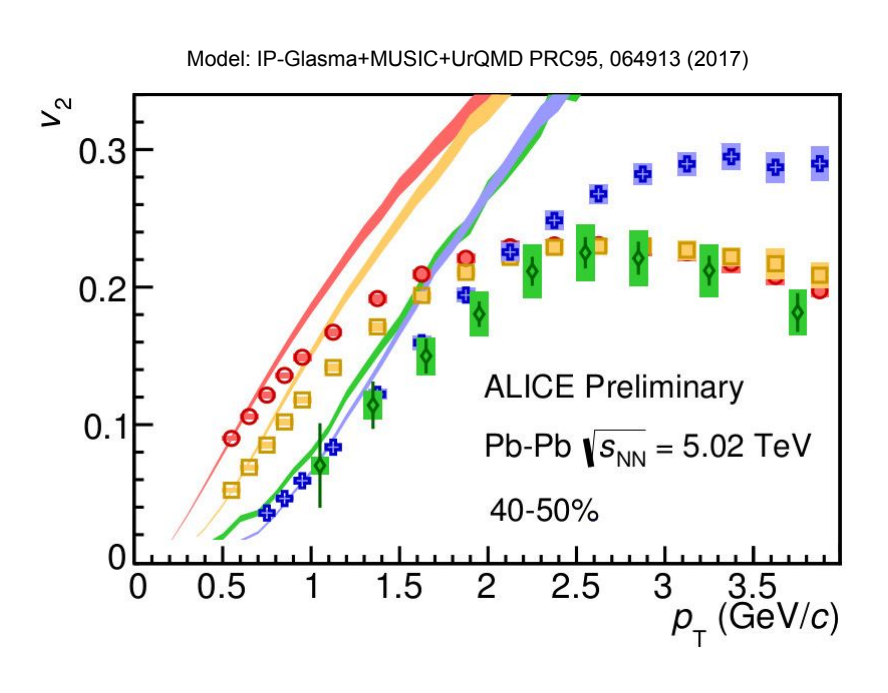
# Эллиптический поток (v<sub>2</sub>) как функция энергии столкновения



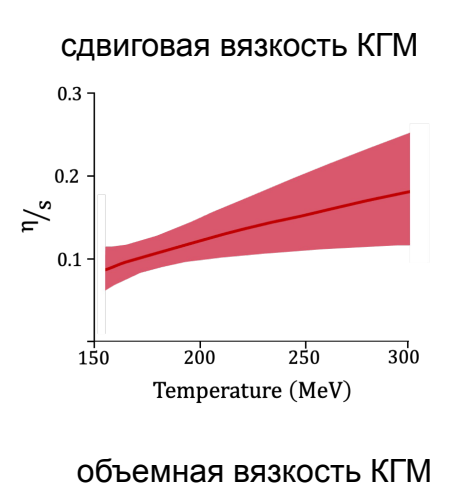
Экспериментальные данные покрывают четыре порядка по величине энергии столкновения

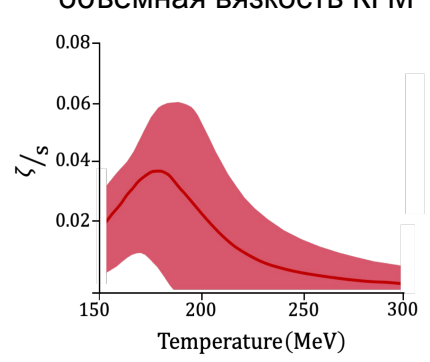
Данные из экспериментов в GSI, AGS, SPS, RHIC, и LHC

# Гидродинамическое описание $V_2$

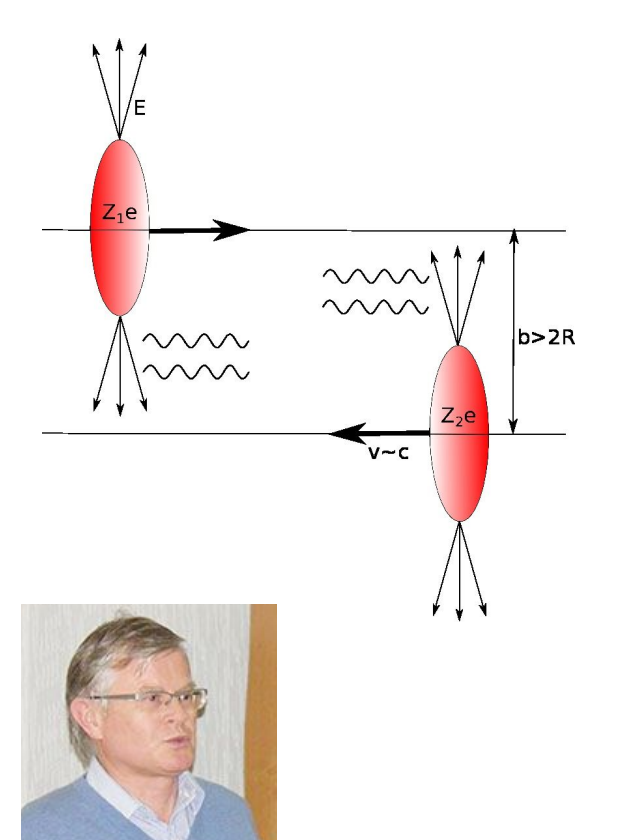








# Ультрапериферийные столкновения (UPC) ядер



И.А. Пшеничнов

При ультрапериферийных столкновениях ультрарелятивистские ядра могут распадаться за счет своих лоренц-сжатых кулоновских полей

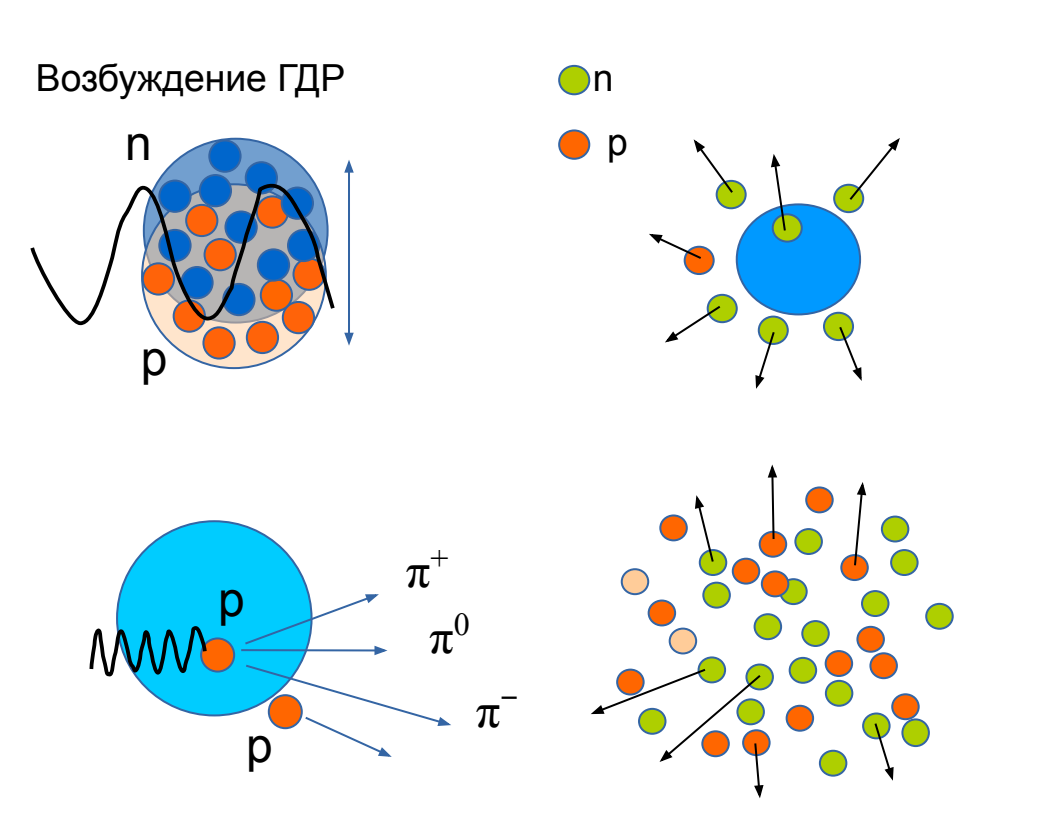
Модель RELDIS:

Создана совместно ИЯИ и Институтом Нильса Бора

Монте-Карло модель релятивистской электромагнитной диссоциации является уникальной реализацией метода Вайцзеккера-Вильямса для описания испускания и поглощения эквивалентных фотонов.

RELDIS, в свою очередь, основан на модели фотоядерной реакции, также созданной в ИЯИ

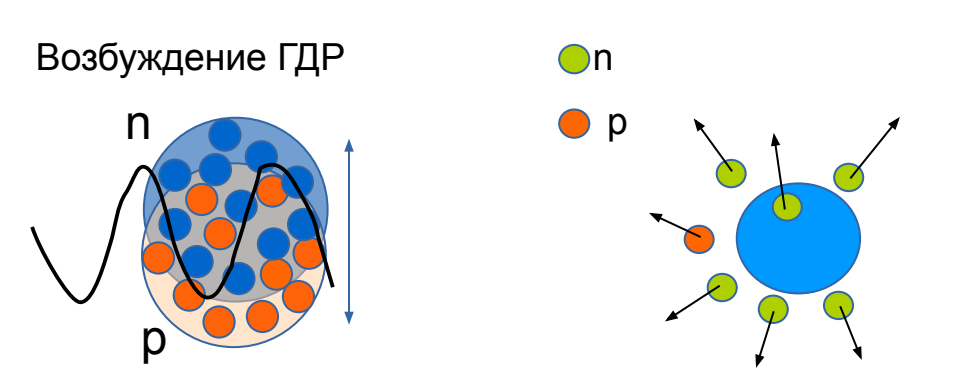
# RELDIS: Модель релятивистской электромагнитной диссоциации, созданная в ИЯИ



При малых возбуждениях в основном испаряются нейтроны

Распад на большое число фрагментов случается редко из-за низкой средней энергии возбуждения

# Предсказание для сечений вылета тяжелых ядер в столкновениях ядер свинца на LHC



заряд	нуклид	Сечение (b)
82	<sup>188-208</sup> Pb	144.7
81	<sup>185-207</sup> TI	29.9
80	<sup>181-206</sup> Hg	13
79	<sup>178-205</sup> Au	6.2

В процессе электромагнитной диссоциации ядра золота образуются из свинца почти так же часто, как адроны в столкновениях ядер свинца

Мечта средневековых алхимиков - реальность на LHC...

#### Примечательно:

В 2015 году, при плановом техническом обслуживании обнаружено около 4 тонн золота внутри Большого адронного коллайдера <a href="https://bullion.directory/cern-scientists-create-230m-dollars-gold-in-lab">https://bullion.directory/cern-scientists-create-230m-dollars-gold-in-lab</a>



# Модернизация существующих и подготовка новых

экспериментальных установок

## Вклад ИЯИ в модернизация существующих установок

#### NA61/SHINE Ha SPS



Модернизация переднего адронного калориметра

Разработка новых кремниевых детекторов пучка

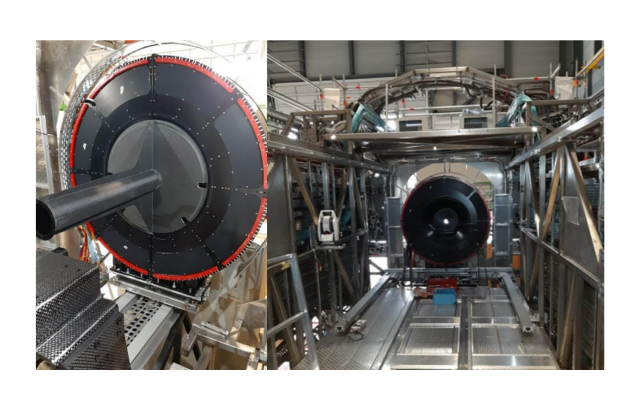
Разработка методов определения центральности по спектарорам

#### BM@N на Нуклотроне



Создан новый адронный калориметр для будущих запусков эксперимента BM@N на нуклотроне

#### ALICE на LHC



FIT (Fast interaction Trigger)

окончательный интеграционный тест FV0 и FT0-A в октябре 2020 года

FT0-С готов к установке на ALICE в декабре 2020 года

# Будущие ускорители и коллайдеры

НИКА Сверхпроводящий коллайдер протонов и тяжёлых ионов (ОИЯИ, Дубна)

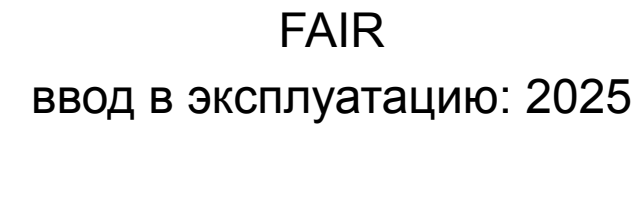


FAIR
Центр по исследованию ионов и антипротонов (Дармштадт, Германии)



# Стройплощадки НИКА и FAIR (2020)

НИКА ввод в эксплуатацию: 2022





Аэро-видеосъемка <a href="https://youtu.be/cK4eUWbzn5w?t=142">https://youtu.be/cK4eUWbzn5w?t=142</a>

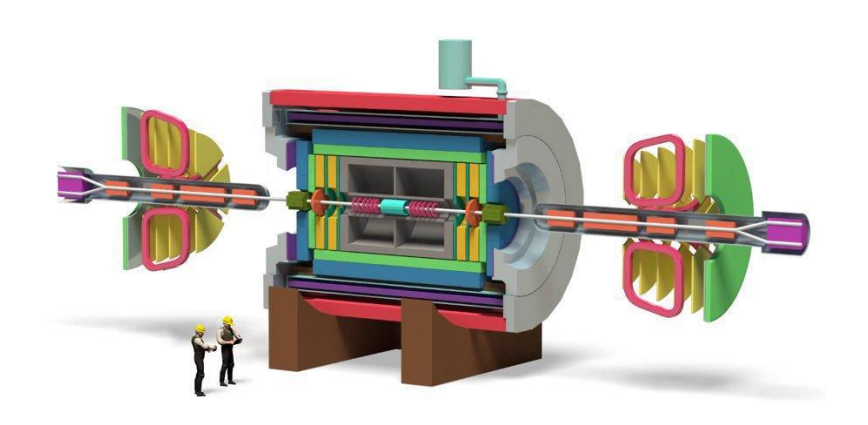


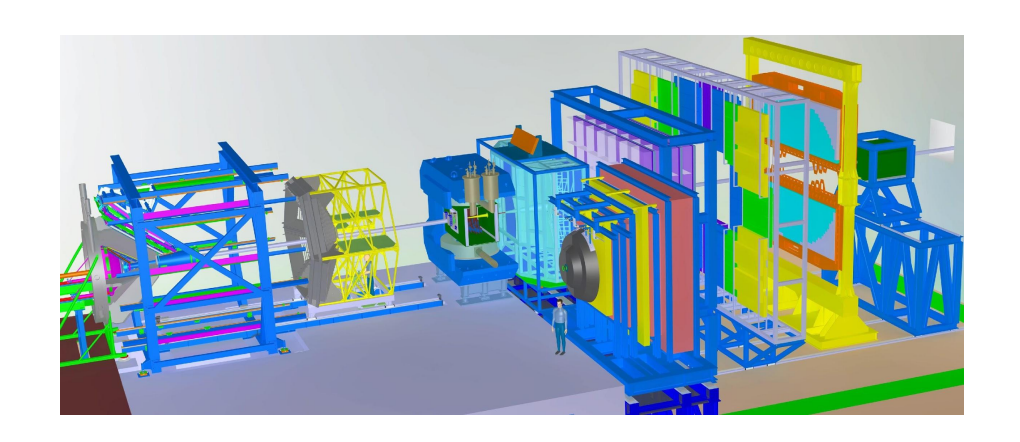
Аэро-видеосъемка <a href="https://www.youtube.com/watch?v=O4J3nx2pnls">https://www.youtube.com/watch?v=O4J3nx2pnls</a>

### Будущие установки в России и Германии

**MPD** Многоцелевой детектор на НИКА

**СВМ**Сжатая барионная материя на ФАИР





# Вклад ИЯИ в будущие установки в России и Европы



А. Ивашкин

Ф. Губер

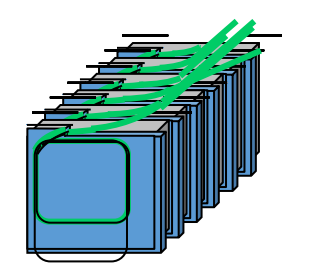
Л.В. Кравчук

Разработка и создание передних адронных калориметров, а также методов их калибровки

Технология основана на модулях адронного калориметра, собранных из слоев свинца и сцинтиллятора.

Сбор света с помощью спектросмещающего оптоволокна (WLS)

Считывание сигнала кремниевыми фотоэлектронными умножителями (SiPM)







# Коллеги ИЯИ РАН



# Молодые исследователи и студенты ИЯИ РАН

#### Молодые ученые



Alexander Izvestnii



Dmitry Finogeev



Oleg Petukhov



Dmitry Borisenko

#### Аспиранты



Nikolay Karpushkin МФТИ



Elizaveta Zherebzova Μ/ΙΦ/Ι



Vadim Volkov МФТИ



Alexander Strizhak ΜΦΤИ

Студенты (МИФИ, МФТИ)



Alexander Baranov ΜИΦИ



Irina Yumatova МИФИ



Alexander Makhnev МФТИ



Султан Мусин МФТИ



Dmitry Gerasimov МФТИ

# Рабочие группы ИЯИ РАН



# Поздравляю ИЯИ РАН с 50-ти летием!

